# Statyuahr N3BECTИЯ

АКАДЕМИИ НАУК АРМЯНСКОЙ ССР

Sthubyuuuu арыльфальшьгр исгри СЕРИЯ ТЕХНИЧЕСКИХ НАУК

theyur

ÉPEBAH

#### **WORKSCHEET AUSTRALIA**

Կասյան Մ. Վ. (պատ. *իմրագիր*), Ադոնց Հ. Տ. (պատ. իմրագրե տեղակալ), Ալերսենսկի Վ. Վ., Անանյան Ա. Կ., Գորոյան Տ. Ա., Ձադոյան Մ. Ա., Կազարով Ա. Գ., Տեր-Ազարև Ի Ա., Փինաշյան Վ. Լ. (պատ. տեղակալ), Պատասիածատու բարաուղար Ս., փանյան Ձ. Կ.

#### РЕДАКЦИОННАЯ КОЛЛЕГИЯ

Касьян М. В. (ответ. редактор), Аданц Г. Т. (зам. ответ. редактора), Амексевский В. В., Ананян А. К., Гороян Т. А., Заболи М. А., Назаров А. Пинаджин В. В. (зам. спет. редактора), Тер-Азарьев И. А. Озветственный секретарь Степанин З. К.

ы финоприя Рум В выполь Вервай 20, Рипеция в рай фиц. - 19 Адрес редакции: Ереван-19, ул. Барекамутян, 24г. արական դիտութ, սեբիա

XXXI, No. 5, 1978

Серия технических пате

МАШИНОСТРОЕНИЕ

#### M. R. POCTOMBIE

# ИССЛЕДОВАНИЕ ОСНОВНЫХ ПАРАМЕТРОВ ТЕКСТИЛЬНОГО ОБОРУДОВАНИЯ МЕТОДОМ СТАТИСТИЧЕСКОГО МОДЕЛИРОВАНИЯ

Существенной особенностью современных методов исследования процессов функционирования текстильного оборудования является формализация их анализа при помощи статистических моделей, описывающих изменение состояния системы. Вид модели зависит не только от природы реального объекта, но и от тех задач, ради решения которых она создается [4]. Использование статистических моделей применительно к анализу процессов функционирования текстильного оборудования, в данном случае текстильно-отделочного оборудования, позволяет выявить оптимальные условия его работы. Более того, представляется возможным не только оптимально осуществлять сами пропессы, но и управлять ими при нарушения режимов работы или изменении отдельных параметров [2].

В пастоящей работе разработана статистическая модель, которая воспроизводит процесс-оригинал в смысле его функционирования во времени, причем, имитируются элементарные явления, составляющие производственный процесс с сохранением его логической структуры и лоследовательности протекания во времени.

Логическая схема модели (рис. 1) представляет собой совокунность блоков и счетчиков. Модель обладает блоком исходных данных, гле хранятся нижние и верхине значения каждого из варьпруемых параметров, а также степець их изменения. Каждой основной оверации, совершвемой в реальных условиях, соответствует блок в модели, который хранит в себе определенные функциональные параметры, полученные при ее настройке. На вход блока поступает некоторая информации от других блоков. Внутри его на основании полученной информации, а также с помощью случайных чисел (если соответствующая операция не детерминирована) вырабатываются определенные числа, характеризующие выполнение данной операции. Ниыми словами, блоки воспроизводят элементарные акты во времени и моделируют работу обслуживающего и ремоитного персонала. Каждый оперативный блок содержит одну или несколько уставок. Информация может быть передана по другому адресу, если какая-либо из величии превышает соответствующую уставку.

Разработанная нами модель включает в себя 21 блок, часть которых моделирует работу отделочного агрегата, другая парушения пор-

мального течения процесса. Для моделирования случайных процессов в ней имеются блоки случайных чисел (БСЧ). Предусмотрены также 50 счетчиков, часть которых участвует в управлении работой модели, а в остальных накапливается информация об отдельных технико-экономических показателях процесса.

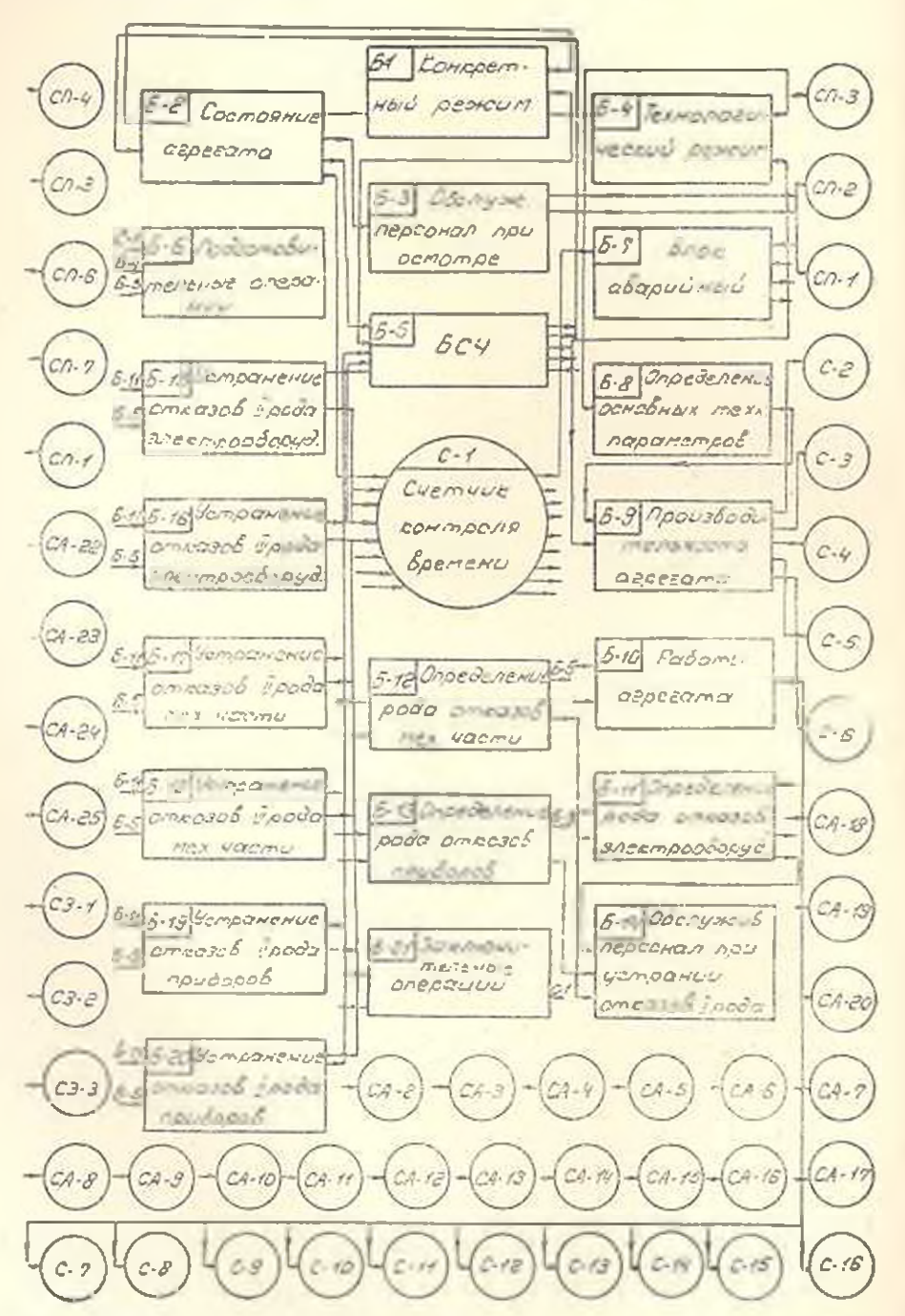


Рис. 1. Блок-схема математической молели функционирования отделочного агрегата.

Для наглядности рассмотрим модель со следующих позиций: 1) подготовительные операции; 2) рабочий процесс; 3) заключительные операции; 4) отклонения течения производственного процесса от нормального.

1. Составная часть модели, имитирующая подготовительные операции, состоит из блоков Б-1 (блок конкретного режима), Б-2 (состояния вгрегата), Б-3 (обслуживающего персонала), Б-4 (технологического режима) и Б-6 (подготовительных операций), а также счетчиков СП-1 СП-7, где фиксируются затраты времени на подготовительные операции и восстановление работоснособности агрегата. Кроме того, для имитации работы этой части модели участвуют Б-5 (блок случайных чисел) и С-1 (счетчик контроля времени), которые янляются общими для всей модели.

Команда запуска модели поступает в Б-1, который хранит в себе график работы агрегата при одно-двух-трех-сменном режимах работы с учетом капитальных, средних и текущих ремонтных работ. Там же хранятся данные о технологическом режиме работы и количестве обслуживающего и ремонтного персонала. На Б-1 и Б-2 сообщается время начала работы и посылается запрос о состоянии агрегата. В Б-2 выясняется состояние агрегата, которое может быть рабочим (пормальным), нерабочим, когда простой может длиться до 0,2 смены, и перабочим с длительностью простоя более смены. Для определення состояния агрегата из Б-2 идет запрос в Б-5 (БСЧ), где определяется какое из указанных состояний может иметь место в даниом случае и сообщается Б-2. В первом случае информация «начало работы по графику» сообщается С-1 и Б-4, во втором случае информация из Б-2 идет по двум каналам: в С-1, где фиксируется время начада работы после простоя и далее в В 1; одновременно идет сообщение в В 3 о первичном состояния агрегата и в СП-1 о затратах времени на восстановление работосногобпости агрегата.

В третьем случае из Б-2 поступает информация в Б-1 с сообщением, что смена не состоится и запрашивается начало следующей смены и тот же цикл начинается заново. Другое сообщение идет в Б-3, где агрегат приволится в рабочее состояние, а значения затрат времени на этот тип простоя засылаются и накапливаются на СП-2.

В случае готовности агрегата информация об обрабатываемом материале и режиме работы поступает в Б-6 для подготовки обслуживающим персоналом агрегата к работе. Пр. Б-6 сообщения илут в С. Г. и СП-4 СП-6 о затратах времени на выполнение подготовительных операции. В случае же отказа оборудования в С.1 и СА-1 (счетчик аварийный) поступает информация о времени возникновения отказа.

2. Для моделирования основной работы агрегата в Б-4 поступает информация из Б-1 о технологическом режиме агрегата в соответствии с артикулом материала и условиями работы. В этом блоке хранится информация о технологических параметрах (концентрация, температура, уровень раствора и т. д.) в каждой отдельно взятой коробке. Из Б-4 информация поступает в Б-8 (блок определения основных технологи-

ческих параметров агрегата). Б-9 (производительности агрегата) и Б-10 (работы агрегата), где определяются основные нараметры агрегата, рассчитывается его производительность и определяется количество выпускаемой пролукции. Счетчики С-1—С-16 регистрируют потери времени по организационным причинам, количество выпускаемой продукции, расход и стоимость нара, воды, электроэнергии, химматериалов, а также формируют среднюю скорость перемещения ткани по агрегату, среднюю производительность и коэффициент использования агрегата.

Вернемся к блоку Б-10, гдс выясняется, в каком состояния находится агрегат. Выявление вероятности отказа при работе агрегата в Б-10 определяется следующим образом: из Б-10 идет запрос в БСЧ о выдаче случайного числа из указанных пределов. При аварийном положении информация через С-1 поступает в Б-7 (блок аварийный), а ссли же значение случайного числа находится вне этих пределов, то предполагается, что агрегат находится в нормальном (рабочем) состоянии.

- 3. Б-21 (блок заключительных операций) получает из счетчика C-1 сообщение об окончании работы и обслуживающий персонал приступает к выполнению заключительных операций. После окончания этих операций информация из Б-21 поступает в СЗ-1—СЗ-3 (счетчики заключительных операций), где фиксируются затраты времени на заключительные операции. В случае иозникновения отказов информация передается СЛ-28 (счетчик учета отказов).
- 4. В модели приведена большая группа блоков и счетчиков, моделирующих нарушения нормального течения процессов. В случае отказа оборудования через С-1, фиксирующий время начала отказа, сообщение о нарушении нормального режима работы передается Б-7. Для прогнозирования эффективности отделочного агрегата предварительно проводился сбор статистических данных по надежности элементов оборудования.

Отделочный агрегат рассматривается как восстанавливаемая система, состоящая из трех подсистем или элементов: электрооборудования (Э), механической части (М), приборов и регуляторов (П), которые, в свою очередь, подразделяются на более мелкие и т. д.

Из Б-7 через БСЧ в соответствующие блоки Б-11, Б-12 и Б-13 (блоки определения рода отказов электрооборудования, механической части, приборов и регуляторов) посылается информация о типе отказавшего элемента. В упомянутых блоках делается классификация отказов на три рода в зависимости от длительности и характера ремонта. После определения рода отказов информация через БСЧ поступает, соответствению, в Б-14—Б-16 для подсистемы Э, в Б-14, Б-17, Б-18 для подсистемы М и в Б-14, Б-19, Б-20 для полсистемы П, где определяется время, затраченное обслуживающим и ремонтным персоналом на устранение отказов (ремонт) оборудования.

В работе модели принимают участие аварийные счетчики СА-6, СА-7 и СА-12 (учет отказов электрооборудования I, II и III родов). Отказы поденетемы М фиксируются, соответственно, в счетчиках CA-2, CA-3, CA-4, а поденетемы П-в CA-8, CA-9, CA-10.

Помимо указанных аварийных счетчиков исобходимо отметить такие, в которых собирается суммарная информация об отказах и времени, затрачению на устранение отказов различного рода. В счетчиках A-14, CA-15 и CA-16 (общее количество отказов I, II и III родов) собирается информация на перечисленных выше счетчиках. Общее количество отказов подсчитывается в CA-17, в который информация поступает из CA-14—CA-16.

В счетчиках CA-21 и CA-15 собирается информация о суммарном премени на устранение отказов 1, 11 и 111 родов.

Разработанная модель дает возможность исследовать процессы функционирования текстильного оборудования, а также перейти от описания процессов к прогнозированию качества их выполнения. Особый практическия интерес представляет модель для разработки автоматизированных систем управления технологическими процессами (АСУТП) на основе оптимизании технологических и конструктивных параметров.

Ереванский филнал ВНИНЛТЕКМАШ

Поступило 21.1V.1977.

#### U. A. MOUSAUSUL

ՏԵՔՍՏԵԼ ՍԱՐՔԱՎՈՐՈՒՄՆԵՐԻ ՀԻՄՆԱԿԱՆ ՊԱՐԱՄԵՏՐԵՐԻ ՀԵՏԱԶՈՏՈՒՄԸ ՎԻՃԱԿԱԿՐԱԿԱՆ ՄՈԴԵԼԱՎՈՐՄԱՆ ՄԵԹՈԴՈՎ

# Udhnhnid

Տերսաիլ սարբավորման աշխատանքային արոցեսները ուսումնասիրելու Համար նկարագրվում է մաքենմատիկական ժողելի ստեղծման մի մեքիոդ։

Ուսումնասիրվում է տեքստիլ սարքավորում, որի աշխատանքը կախված է մի շարք տեխնոլոգիական և կազմակերպական գործոններից։ Նկարադրվում են մախեմատիկական մոդելի բլոկ-սխեմաները և պարզաբանվում
մոդելի բլոկների ու հաշվիչների աշխատանքը։ Մշակված մոդելը հնարավորություն է տալիս ոչ միայն ուսումնասիրել տեքստիլ սարքավորման աշխատանքային պրոցեսները, այլ այդ պրոցեսների նկարագրումից բացի, կանխորոշել նրանը իրականացման որակը և որոնել պրոցեսները ղեկավարող օրինաշափությունները։

#### JIHTEPATYPA

- 1. Бусленко Н. И., Калашников В. В., Коваленко И. И. Лекции по теории сложных систем. М., «Советское радио», 1973.
- Вояринов А. И., Кафоров В. В Методы оптимизации в химической технологии. М. «Химия», 1969

# 20340000 002 ЭРЗПРФЭПРОБОР ВЧИЧЫТЕВЗЕ ЗБЦБИВЭРР ИЗВЕСТИЯ АКАДЕМИИ НАУК АРМЯНСКОВ ССР

Տեխնիկական գիտուր, սեբիա

XXXI, Nº 5, 1978

Серия технических прук

МАШИНОСТРОЕНИЕ

#### и. в олениик, м г стакян, с. а гаспарян

# ВЫНОСЛИВОСТЬ ДЕТАЛЕТ МАШИН ПРИ НЕСТАЦИОНАРНОМ ПАГРУЖЕНИИ И ЗАДАННОМ СРОКЕ СЛУЖБЫ

Типичным нагружением для подавляющего большинства ответственных детялей машии является нестационарное нагружение, при котором меняются но времени максимальное и минимальное, а эначит, среднее  $\sigma_m(z_m)$  и амплитулное  $\sigma_a(z_a)$  напряжения цикла. Поэтому дальнейшее совершенствование расчетов деталей при нестационарной нагруженности имеет важное практическое эначение

Чтобы расчет соответствовал современным требованиям (обеспечивал минимальную материалоемкость дстали), необходимо исходить из уточненных представлений, по крайней мере, и трех направлениях: а) о спектре эксплуатационной нагруженности; б) о суммировании усталостных повреждении от нагрузок разного уровия и в) о повреждающем действии нагрузок малой величины (недогрузок), сочетающихся с большими нагрузками (перегрузками).

В данной статье затрагивается только последнее из указанных направлений. Вопрос о математическом описании спектров эксплуатационной нагруженности с учетом их случайного характера представляет собой самостоятельную задачу. Будем полагать, что в каждом конкретном случае расчета спектр нагрузок задан, что во времени он слагается из одинаковых, периодически повторяющихся частей (блоков) и что законы изменения нагрузок (напряжений) в блоке известны.

Не касаясь по существу второго направления, в качестве модели процесса накопления повреждении примем скорректированную линейную гипотезу [1, 2], хорошо зарекомендовавшую себя в инженерных расчетах, допускающую печислять долговечности по исходной кривой усталости и в пределах мнимой ее части, лежащей инже предела выносливости. Правомерность экстраноляции исходной кривой усталости и область недогрузок при подсчете слагаемых накопленного повреждения можно считать доказанной [2]. Особые случан нестационарного нагружения, приводящие к детерминированным отклонениям предельного повреждения от единицы, исключим как имеющие подчиненное значение. В дальнейшем расчет будем проводить на примере нормальных напряжений с.

Наклонную ветвы исходной средневероятной кривой усталости подчиним степенному уравнению

$$z^m N = N_0 = 10^{C_0}$$
 вля  $Q^m N = Q^m N_0 = 10^{C_Q}$ , (1)

где m— угловой коэффициент наклонных ветвей кривых усталости в двойных логарифмических координатах;  $C_{*}$  и  $C_{Q}$ — начальные абсциссы этих ветвей, построенных и напряжениях и соответствующих им нагрузках;  $\circ$  и  $Q_{*}$ — предел ныпосливости и соответствующая ему предельная нагрузка;  $N_{0}$  — абсцисса гочки перелома кривых усталости, определяющая предельные величины  $\circ$  и  $Q_{np}$  и положение горизонтальных участков этих кривых;  $\circ$  Q и N — текущие напряжения, нагрузка и число циклов до разрушения. Между параметрами  $C_{Q}$  и  $C_{*}$  существует очевидное соотношение

$$C_Q = C_* + m \lg q. \tag{2}$$

где у множитель при напряжении, при яомощи которого определяется нагрузка (например, при растяжении—сжатии это площадь, а при изгибе—момент сопротивления опасного сечения детали). Оставляя в стороне имеющий самостоятельнее значение вопрос об априорном построении кривых усталости, допускаем, что исходиую кривую для рассиишваемой детали всегда можно построить.

Так как к проектному расчету детали задаются нагрузки, будем иметь в виду кривую усталости в нагрузках, понимая под инми силы или моменты, действующие в опасном сечении детали. Опираясь на линейную гипотезу суммирования повреждений, упорядочим график нагрузок от больших значений к меньшим и представим его в относительных коорлинатах. График может быть ступенчатым (рис. 1) и плавным (рис. 2). Удобнее всего его относить к одному блоку нагрузки, как это и показано на рисунках. Но если принять, что расчетная долговечность  $N_{\rm p}$  кратна числу циклов  $n_{\rm p}$  в блоке тобъему блока), что всегда приемлемо, и состоит из  $\chi$  блоков, т. е.  $N_{\rm p} = i n_{\rm p}$ , то такой график можно трактовать как график нагружения детали за весь ее срок службы в масштабе  $\chi$ . Отношения нагрузок  $\chi$  определяются заданным спектром эксплуатационной нагруженности детали.

Как известно, кривая усталости при исстационарном нагружении в координатах «максимальная нагрузка—суммарное число циклов до разрушения» смещается вирабо по отношению к исходной кривой, причем, это смещение будет тем больше, чем меньше длительность действия максимальной нагрузки [1]. При больших величинах  $\alpha_1 = Q_1 Q_{\rm пр}$  и малых величинах  $\beta_1 = n_{16}/n_a$  смещение может характеризоваться увеличением долговечности по кривой усталости исстационарного нагружения на один-два порядка по сравнению с долговечностью N (по исходной кривой). Это означает, что расчетный срок службы  $N_{\rm p}$  нельзя ограничивать долговечностью  $N_0$  при определении коэффициента  $K_1 = (N_{\rm p}/N_0)^{1/n}$  срока службы [3] и выяснении того, относится ли данный конкретный расчет к расчету на ограниченную или неограниченную выносливость.

Вынослиность детали будет ограниченной при всех значениях  $N_{\rm p}$ , как бы велики они ни были, пока длительность  $n_{\rm l}$  действии максимальной нагрузки  $Q_{\rm l}$  за весь срок службы будет меньше абсциссы  $N_{\rm l}$  т. е. пока будет соблюдаться неравенство  $n_{\rm l}=n_{\rm l}=N_{\rm l}$   $n_{\rm l}=N_{\rm l}$  При  $n_{\rm l}>N_{\rm o}$  нагрузка  $Q_{\rm l}$  должна стать равной  $Q_{\rm np}$  (все другие нагрузки блока подавно будут меньше  $Q_{\rm np}$ ), и расчет детали можно проводить без учета заданного срока службы  $N_{\rm p}$ , т. е. на неограниченную выпосливость. Далее будем иметь в виду только первый случай.

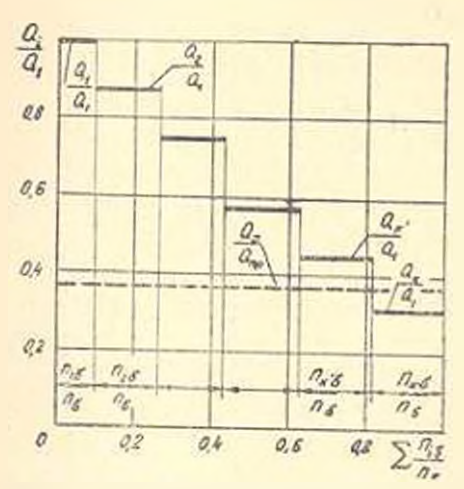


Рис. 1. Блок нагружения со ступенчатым изменением вагрузки (k' — число ступеней нагрузки до нижней границы).

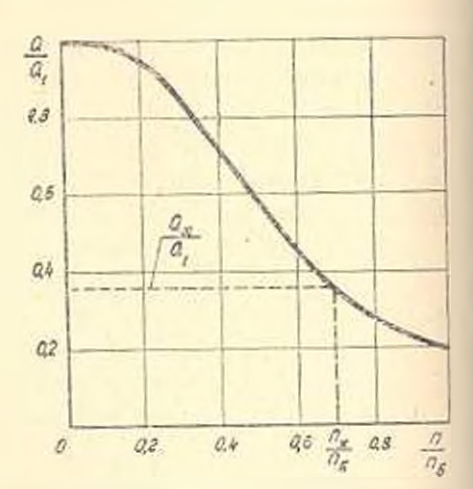


Рис. 2. Блок нагружения с плавины изменением нагрузки (n<sub>1</sub>—число циклон в блоке, соотнетствующее инжней границе).

Покажем теперь, что при наличии в спектре сильно отличающихся нагрузок те из них, которые меньше нижней границы повреждающих нагрузок [4] и практически не вызывают повреждения материала детали, могут быть отброшены на стадии проектного расчета. Обозначим  $Q_x$  нагрузку пижней границы, а  $x = Q_x/Q_{\rm пр}$ —относительную ее величину, которую будем полагать зависящей от эксплуатационного спектра нагруженности и, следовательно, в начале расчета неизвестной. Принимая ее в первом приближении равной нулю, заменим действительный спектр эквивалентной ему нагрузкой  $Q_x$ . Под последней будем понимать такую постоянную нагрузку, отнесенную к исходной кривой усталости, которая за тот же срок службы  $N_y$ , что и действительные нагрузки, вызывает одинаковое с ними повреждение материала детали. Тогда условие эквивалентности для ступенчатого блока с ступенями и блока с плавным изменением нагрузки примет вид [1]

$$Q_{9} = Q_{1} \left[ \sum_{i=1}^{h} (Q_{i}/Q_{i})^{m} (n_{16}/n_{0}) \right]^{1/m}, \tag{3}$$

$$Q_{1} = Q_{1} \left[ (1/n_{1}) \right] \left( Q/Q_{1} \right)^{m} dn \, \bigg| \, . \tag{4}$$

Выражения в квадратных скобнах представляют собой коэффициенты переменности нагружения [3,4]

$$K_Q = \left[\sum_{i=1}^{n} (Q_i Q_i)^m (n_{in}/n_a)\right]^{1/m}$$
, (5)

$$\mathcal{K}_{Q} = \left[ (1/n_{A}) \int (Q/Q_{A})^{\alpha} dn \right]^{1/\alpha}. \tag{6}$$

Коэффициенты  $K_Q$  при заданном блоке нагрузки не зависят от срока службы  $N_p$ . Не зависит от него и эквивалентияя нагрузка

$$Q_s = Q_s \cdot K_{Q_s}$$
 (7)

От срока службы зависит лишь предельная нагрузка  $Q_{\rm np}$  по исходной кривой усталости, которая при постоянной нагрузке Q, будет тем меньше величина N

$$Q_{np} = Q_{r} \left( \Lambda_{p} / \Lambda_{n} \right)^{1/n} = Q_{r} K_{r}. \tag{8}$$

Слодовательно, если долговечность  $N_p$  мала, то и предельная нагрузка мала, а соотношение между  $Q_i$  и  $Q_{np}$  значительно, и для детали можно применить материал инзкой прочности. Как видно из выражения (8), при  $N_p < N_0$  эквивалентная нагрузка больше, а при  $N_p > N_0$  меньше предельной. Это не должно казаться необычным, поскольку эквивалентная нагрузка отражает действие всех нагрузок в блоке, а в последнем случае на долю недогрузок приходится существенно большая часть временя, что предельная нагрузка  $Q_{np}$  по исходной кривой усталости является по существу предельной эквивалентной нагрузкой, так как она заменяет действительный блок и отнесена к абсписсе точки перелома исходной кривой усталости. Иная ее трактовка оказивается недостаточной для решения поставленной задачи. Так, если считать, что эквивалентная нагрузка, отнесенная к долговечности  $N_0$ , является просто эквивалентной, а не эквивалентной предельной нагрузкой. То можно звинсать

$$Q_1 = Q_1 K_Q K_1. \tag{9}$$

Межлу тем из выражений (7) и (8) следует, что

14

$$Q_{\rm exp} = Q_{\rm np} = Q_1 K_Q \cdot K_1. \tag{10}$$

Из последнего выражения можно получить (рис. 1)

$$Q_1/Q_{np} = 1/K_0K_1 \tag{11}$$

$$Q_1/Q_{pq} = Q_1/Q_1K_0K_T,$$
 (12)

где отношения  $Q_i/Q_1$  берутся непосредственно из графика нагрузок, а отношения  $Q_i/Q_{\rm пр}$  позволяют представить все нагрузки блока в долях предславной нагрузки, потребной для заданных условий работы детали. Эта возможность исчезает, если руководствоваться представлениями согласно выражению (9).

Определив из выражения (11)  $\alpha_1 = Q_1/Q_{\rm np}$  и зная  $\beta_1 = n_{16}/n_6$ , относительную величину х нижней границы найдем по ранее выведенной эмпирической формуле

$$x = 2/(1 + \epsilon) \tag{13}$$

Тенерь можно сопоставить нагрузки  $Q_t/Q_{\rm пр}$  согласно выражению (12) с полученным значением x и те из них, которые окажутся меньше x, отбросить.

Для графика с плавным изменением нагрузки (рис. 2) по величине x находим отношение, выражающее нагрузку  $Q_x$  в долях максимальной нагрузки  $Q_1$ 

$$Q_x/Q_1 = x K_Q K_t \tag{14}$$

и по нему, пользуясь законом Q и изменения нагрузок в блоке, вычисляем  $n_{x/}n_{\phi}$  и  $n_{x}$  и отбрасываем правую часть блока, где  $n/n_{\phi} > n_{x/}n_{\phi}$ .

Полученное усечение блока рассматриваем как первое приближение, вполне, однако, достаточное в тех случаях, когла усечение оказалось незначительным или не удалось исключить даже самую малую нагрузку блока. Для уточнения расчета в остальных случаях прибегаем к второму приближению, которос, как правило, будет последним. Для этого по формулям (5) или (6) определяем коэффициенты веремениости режима нагружения, оставляя с отпосительными нагрузками превышающимя х (т. е. к' слагаемых), или вычисляя интеграл в пределях от 0 до  $n_x$ . Отношения  $n_{i\delta}/n_0$  и объем блока  $n_{\delta}$  при этом оставляем неизменными, соответствующими заданному (исходному) графику нагрузок, на том основании, что работа детали при искусственно отброшенных нагрузках фактически имеет место, и наработка при этих нагрузках отражается в общей долговечности Np. При таком подходе коэффициенты Ко будут меньше, чем при первом приближении, а коэффициенты Кт останутся испаменными, т. е. станут меньше нагрузки  $Q_{\rm s}$  и  $Q_{\rm sp}$ , что позволит уменьшить размеры опасного сечения детали К гому же результату прийдем, если с учетом отсеченной части графика нагрузок скорректируем объемы блоков 🚜 отношения и 🚛 н расчетную долговечность  $N_{\rm p}$ . Но этот прием менее удобен, так как гребует перестройки графиков нагружения и перехода от указываемого в задании срока службы  $N_{
m p}$  к некоторому фиктивному, не отражающему измеряемую в эксилуатации наработку детали.

Уточини по выражению (10) предельную нагрузку и по выражению (11) отношение  $Q_{\rm np}/Q_{\rm i}$ , по формуле (13) находим новое значение x. Это значение сравниваем с вновь полученным  $Q_d/Q_{\rm np}$  согласно выра-

жению (12) или определяем по выражению (14) новое отношение  $Q_s/Q_t$  и число циклов  $n_x$ . При этом может оказаться необходимым дополнительно отбросить нижине части блока.

Полученное во втором приближении значение предельной нагрузки с достаточной точностью позволяет найти размеры опасного сечения детали, при которых будет обеспечиваться нормальная ее работа при действительном слектре нагрузок в течение заданного срока М. Например, если неподвижная гладкая ось при асимметричном плоском дагибе с коэффициентом R должна иметь среднепероятный предел вымосливости  $\mathfrak{I}_R$  и предельные составляющие цикла  $\mathfrak{I}_m$  и  $\mathfrak{I}_a$ , то полагля, что при действии всех нагрузок эксплуатационного спектра коэффициент R и отношение  $\mathfrak{I}_m/\mathfrak{I}_a$  не изменятся (сохранится подобне циклоп импряжений), потребный момент сопротивления W оси найдем на выражения

$$W = Q_{\alpha\beta} \epsilon_{\alpha\beta} \tag{15}$$

где под Q<sub>пр</sub> в данном случае следует понимать предельный пагибающий момент в опасном сечении оси-

При известной функции распределения предела выпосливости легко избин сечение оси, при котором долговечность  $N_{\rm p}$  гарантировалась бы с заданион вероятностью разрушения P. Если для  $z_{\rm p}$  при изть пормальный закон распределения со средним квадратичным отклонением  $S_{z_R}$ , то для вероятности разрушения P, соответствующей квантили u, потребный момент сопротивления оси будет

$$W_P = Q_{np}/(z_R + \pi S_n). \tag{16}$$

Расчет несколько усложнится, если и заданный спектр нагрузок и спответствующую ему величину  $Q_{\rm np}$  рассматривать как средневероятные, подчиненные тому или иному закону распределения. Тогда момент  $W_{\rm p}$  для заданной вероятности P определится с учетом вероятностей указанных двух событий.

Исходя из принятого предела выносливости то оси и полученного и расчете ее днаметра, по уравнению подобия усталостного разрушения [4, 5] находим предел имносливости эталонного образца и по нему полбираем подходящий материал для оси Если при принятых условиях расчета подбор материала оказался патруднительным, расчет повторяем, либо прибетаем к тому или иному поперхностному упрогнению оси для придания ей требуемых свойств.

Таким образом, предложениая метолика расчета деталей машин на выпосливость при нестационарном нагружении по заданному сроку службы позволяет с достаточной полнотой отразить условия работы деталей и добиться за этот счет минимальной их материалосмкости.

#### ъ. ч. отвамч. в. ч. извъзиъ. п. 2. чиочисацъ

ՄԵՔԵՆԱՆԵՐԻ ՄԱՍԵՐԻ ԴԻՄԱՑԿՈՒՆՈՒԹՅՈՐՆԸ ՉԿԱՅՈՒՆԱՑՎԱԾ ՔԵՌՆՎԱԾՈՒԹՅԱՆ ԵՎ ԾԱՌԱՅՈՒԹՅԱՆ ՏՐՎԱԾ ԺԱՄԿԵՏԻ ԿԵՊՔՈՒՄ

# Hudenshnid

են մե ենաներ մասերի թեռնվ ուքյան դեպքեր, որոնց մի մասը սահմանայինից ցածր էւ Ճշտված և Էկվիվայենտ և էկվիվայենտսահմանային թեռնվածք տակացությունները, որի չնորքիվ ապացուցված է նախագծման շրջանում վնասող թեռնվածքների ներքին սահմանից ցածր գտնվող արժեքների հաշվարկից թացառելու նարավորությունը։

Առաջարկված է մեթենածերի մասերի՝ ըստ ծառայութկան տրված ժամ կնտի Հավար և մեթող, որը բավականաւափ լրիվ արտացոլում է հրանց աշխատածթի պայմանները և ապա ովում նվաղագույն նյութատարողությունը։

#### ЛИТЕРАІУРА

- Олейник II. В. Расчет деталей машии с учетом шимией границы повреждающих ингрузок. Респ. междел. науч. техн. сб. «Летали машии», вып. 19, Киев, «Техника», 1974, с. 87—93.
- Олейник И. В. Сумынрование повреждений по экстраполированиой кривой усталости Респ. межнел. науч.-техи. сб. «Петали машик», вып. 12. Кисв. «Техника», 1971. с. 63--66.
- 3. Решетов Д. Н. Летали машин. М., «Машиностроение». 1974. 656 с.
- Серенсен С. В., Коспен В. П., Шнейдерович Р. М. Несущая способность и расчеты деталей машин на прочность. М., «Машиностроение», 1975, 488 с.
- Сосновений Л 4. Ураннения подобия устажостного разрушения с опасным объемом и их экспериментальная проверка. «Проблемы прочности», 1977. № 1. с. 40—50.

Տեխնիկական գիտութ, սեբիա

XXXI, № 5, 1978

Серия технических наук

ЭНЕРГЕТИКА

#### HEHAZAGAGALI H H

# АЛГОРИТМ РАСЧЕТА УСТАНОВИВШЕГОСЯ РЕЖИМА СЛОЖНОЙ ЭЛЕКТРОЭНЕРГЕТИЧЕСКОЙ СИСТЕМЫ

Предлагается алгоритм расчета установившегося режима сложных злектроэнергетических систем (ЭЭС), основанный на методе разделения сложной ЭЭС на несвязанные подсистемы (ПС). Предполагается, что ПС сложной ЭЭС являются эпергосистемы (ЭС), входящие в эпергообъединение (ЭО).

Постоновка задачи. Задана схема замещения ЭО, активные ( $\sigma$ ) и реактивные (b) узловые проводимости, активные (P) и реактивные (Q) мощности в узлах, базисный узел с заданным напряжением ( $U_6$ ). ЭО расчленяется на несвязанные ЭС. Выводятся и решаются уравнения состояния для каждой ЭС. Составляется и решается система уравнений, где в качестве переменных рассматриваются токи в межсистемных связях (MC). Напряжения в узлах ЭС определяются как алгебранческая сумма напряжений от токов в узлах ЭС и MC.

Теория. После рассечения ЭО на ЭС и удаления МС, необходимо установить такие математические модели для каждой ЭС, чтобы напряжения и токи в любом узле и элементе ЭС были такими же, что и в ЭО.

Предположим, что выполнено рассечение ЭО (рис. 1) на две ЭС. Это достигается разрезанием МС  $m\kappa$ .

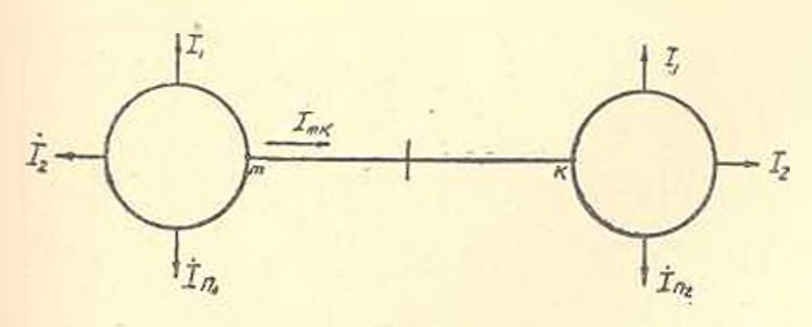


Рис. 1.

Математические модели строятся с учетом следующих положений. 1. Разделение ЭО на ЭС рассечением МС, соединяющей их, равносильно существованию двух отдельных ЭС. Удаление МС приводит к прекращению потока мощности между ЭС так, что в ЭС 1 наблюдается излишек мощности  $\hat{I}_{mk} \cdot \hat{U}_m$  (тока  $I_{mk}$ ), а в ЭС II—нехватка  $\hat{I}_{mk} \cdot \hat{U}_k$  (тока  $I_{mk}$ ). Если в ЭС I и II компенсировать излишек и нехватку тока  $I_{mk}$  и решать уравнения узловых напряжений (УУН) каждой ЭС, то нолучим такое решение, как если бы ЭО не расчленялось на ЭС, а решалось целиком.

- 2. Принимается, что в каждой ЭС один из узлов (опорный) временпо замыкается на базисный узел ЭО.
- 3. Компенсируя соответствующие узловые токи в каждой изолированной ЭС, полагаем, что узловые напряжения ЭС равны алгебранческой сумме:
- а)  $U_1$ ,  $U_2$  напряжения, обусловленных узловыми токами ЭС и токами в MC:
- б)  $\Delta U_p$  падений напряжения между опорным узлом ЭС и базисным узлом ЭО.

Задача становится определенной, если будут известны перетоки по МС и падения напряжений между опорными узлами ЭС и базисным узлом ЭО. Дальнейшие преобразонания сводятся к их определению. С этой целью для заданного ЭО строится искусственияя цепь [1], состояная из двух схем гоков—узловых и контурных, которые составляются следующим образом.

# А. Схема узловых гоков.

- Предполагается, что все токи в каждой ЭС сходятся в опорном узле.
- 2. Суммарные токи каждой ЭС из опориых узлов текут к базисному узлу ЭО по одной из МС ЭС. Таким образом, в искусственной цепи ЭО каждая ЭС представляется одним узлом, в котором приложен суммарный ток ЭС (кроме ЭС с базисным узлом).

# Б. Схема контурных токов.

- 1. Предполагается, что между ЭС, имеющих более одной МС, сушествуют контуры, которые замыкаются между опорными узлами соответствующих ЭС.
- 2. Сами ЭС могут образовывать замкнутые контуры, количество которых определяется:

$$K = b - (N - 1)$$
.

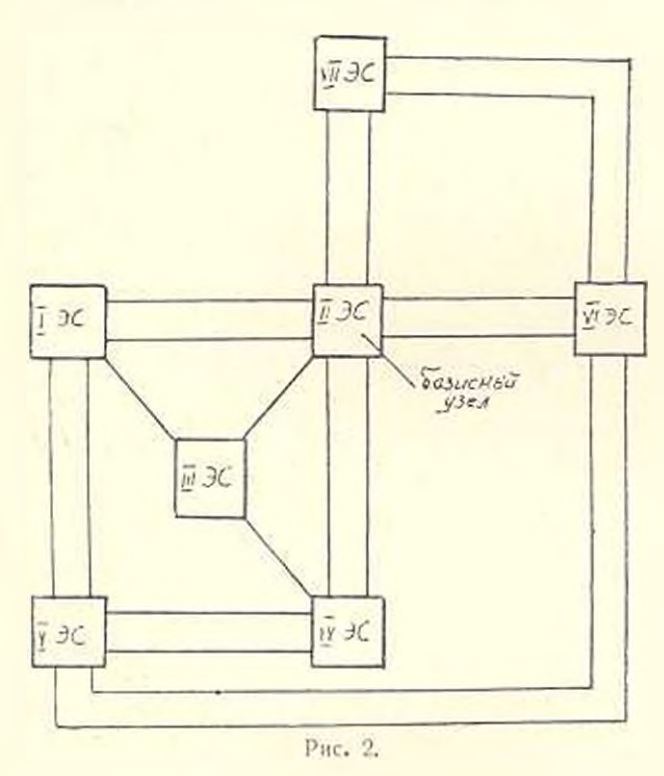
где b— число ветвей искусственной цепи, по которым вредполагается прохождение узловых токов N-1—число независимых узлов искусственной цепи.

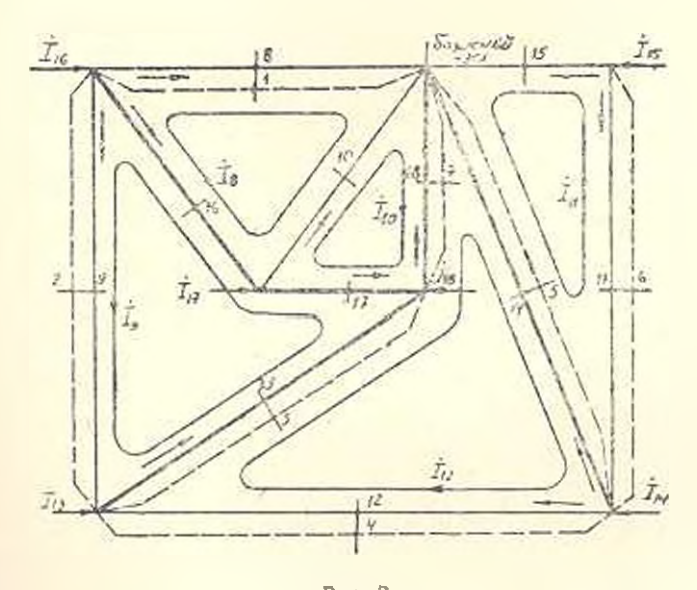
Таким образом составленная искусственная цель будет иметь:

- б) узлов столько, сколько имеется ЭС в ЭО;
- б) ветвей столько, сколько имеется МС в ЭО.

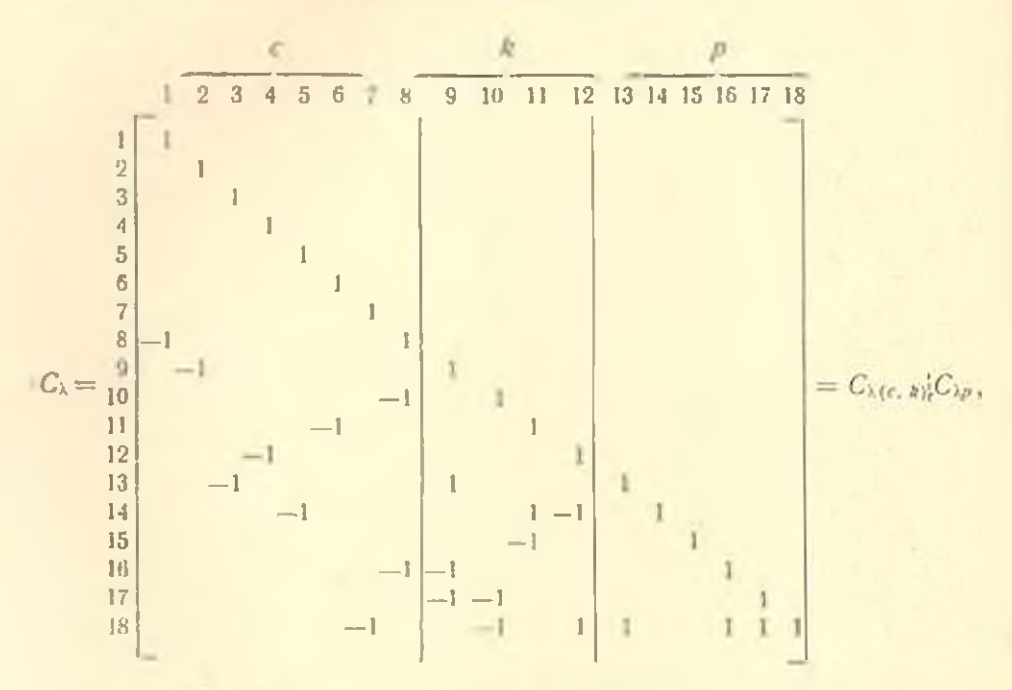
Приняв такую схему токов, составляем матрину соединении токов в искусственной цени.

Составление матрицы соединений токов в искусственной цепи. Для наглядности рассмотрим пример ЭО, состоящего из 7 ЭС, связанных МС, как показано из рис. 2. Для него составим искусственную цепь (рис. 3).





В этой искусственной цепи пунктирными линиями проведены МС, по которым предполагается прохождение контурных токов  $(I_c)$ , а сплошными-прохождение суммарных узловых токов (/3) в сечениях. В узлах приложены суммарные узловые токи  $(I_{\theta})$ . После рассечения МС узлы, образовавшиеся в сечениях, пронумеруем следующим образом. Первыми померами по порядку отметим все узлы, по которым предполагается прохождение контурных токов  $I_c$  (1-7). В составленной искусственной цепи есть контуры, в которых циркулируют контурные токи  $\hat{I}_{\mathbf{k}_1}$  образованные сампин ЭС. Составим одно из возможных деревьев графа искусственной цепи (жирные линии). Следующими номерами (8-12) отметим узлы в сечениях тех МС, удалением которых получили дерево. Последующими номерами (13-16) обозначим узлы, по которым проходит суммарный ток голько одной ЭС, затем-узлы (17), по которым проходят суммарные токи двух ЭС и т. д. Задаемся направлениями токов в МС. Учитывая, что в сечениях ЭС, имеющих более одной МС, по одной из инх протекает соответствующий остаточный ток  $\sum l_c + I_c$ , составим матрицу соединений токов в искусственной цепи:



где  $C_{N(c,A)}$ ,  $C_{HO}$  — подматрицы соединений контурных и узловых токов. Строки этой матрицы соответствуют номерам узлов, а столбцы токам и сечениях МС. Она преобразует матрицу сопротивлений узлов МС относительно опорных узлов ЭС и матрицу сопротивлений узлов МС относительно базисного узла [1]. При вышеналоженном формировании получаем треугольную матрицу соединений токов искусственной цепи. Вычислительные преимущества таким образом составленной матрицы очевидны.

Определение матрицы сопротивлений узлов МС ЭО. Составляем матрицу узловых проводимостей для каждой ЭС относительно опорных узлов (Y). Определяем матрицу узловых сопротивлений ЭС  $(Z_1 = Y^{-1})$ . Па нее выделяем подматрицу сопротивлений относительно узлов связей (Z') и располагаем по диагонали в матрице:

$$Z = \begin{bmatrix} Z_1 \\ Z_0 \\ \vdots \\ Z_N \end{bmatrix}.$$

Составляем матрицу соединений узлов связи ЭС с узлами разрывов МС ( $C_{cak}$ ). В этой матрице столбцами и являются номера узлов разривов МС, а строками m — номера узлов связей ЭС. Можно  $C_{cak}$  составлять по следующему принципу. За положительное направление тока в МС принять от ЭС с меньшим номером к ЭС с большим номером.

Определяем матрину  $Z_i = C_{im} \cdot Z \cdot C_{in}$ ,  $C_{im} = (C_{in})_1$ .

Матрица сопротивлений узлов связей ЭС относительно их опорных узлов будет:

где Z<sub>г</sub> — диагональная матрица сопротивлений МС.

Матрица Z, преобразуется в матрицу сопротивлений узлов связей ЭС относительно базисного узла ЭО [1]

$$Z_1 = (C_1)_i \cdot Z_\lambda \cdot C_{i.}$$

Разобьем Z на блоки в соответствии с разбиением  $C_{\kappa}$  на  $C_{k(c)}$  и  $C_{kn}$ 

$$Z = \begin{bmatrix} C_{(c,k)} \cdot Z_{c} \cdot C_{(lc,k)} & C_{(c,k)} \cdot Z_{k} \cdot C_{cp} \\ C_{pc} \cdot Z_{c} \cdot C_{(lc,k)} & C_{pc} \cdot Z_{c} \cdot C_{cp} \end{bmatrix} = \begin{bmatrix} Z_{(c,k)} \cdot C_{cp} & Z_{(c,k)p} \\ Z_{p(c,k)} & Z_{pp} \end{bmatrix}$$

$$C_{(c,k)} = (C_{(c,k)})_{l}, \qquad C_{pc} = (C_{(c,k)})_{c}.$$

гле  $Z_{(c,k)(c,k)}=R_{(c,k)(c,k)}$   $jX_{(c,k)(c,k)}$  — подматрица сопротивлений контурной цепи;  $Z_{(c,k)p}=R_{(c,k)p}+jX_{(c,k)}$  и  $Z_{p(c,k)}=K_{p(c,k)}=K_{p(c,k)}$  подматрицы взаимных сопротивлений контурной и узловой цепей;  $Z_{pp}=R_{pp}+jX_{pp}$  — подматрица сопротивлений узловой цепи.

Для расчета установившегося режима ЭО необходимо определить матрицу соединений узловых  $(C_{mp})$  и контурных  $(C_{m(c,k)})$  токов с узлами ЭС [1]:

$$C_{mp} = C_{mi} \cdot C_{\cdot p}, \qquad C_{\cdot m(c_i)} = C_{mi} \cdot C_{\iota(c_i,k)},$$

тде  $C_m$  матрица соединений узлов разрыва ( $\iota$ ) с узлами ЭС (m). Она составляется по тому же принципу, что и  $C_{m\lambda}$ . Вся необходимая

информация подготовлена для расчета установившегося режима ЭС, входящих и ЭО.

# Алгоритм расчета

1. Уаловые напряжения ЭС от их узловых токов:

$$\dot{U}_{1m} = Z_1 I_m + \dot{U}_6 \ .$$

2. Контурные напряжения и токи в искусственной цепи:

$$U_{(c,k)} = (C_{m(c,k)})_{t} \cdot U_{1m} - Z_{(c,k)p} \cdot I_{p} :$$

$$I_{(c,k)} = Y_{(c,k)(c,k)} \cdot U_{(c,k)} ; \qquad Y_{(c,k)(c,k)} = Z_{c,k} \cdot V_{(c,k)} .$$

3. Дополнительные токи и напряжения в узлах ЭС, вызванные токами, протекающими в МС:

$$I_{.} = -(C_{m,p} \cdot I_{p} + C_{m(r-k)} \cdot I_{(r-k)}).$$

$$U_{2rr} = Z_{2} \cdot I_{1}.$$

6. Падения напряжений между опорными узлами ЭС и базисным узлом ЭО:

$$\Delta U_p = -(C_{mp})_l \cdot U_{1m} + Z_{p\rho} \cdot I_{\alpha} + Z_{p(i-k)} \cdot I_{(i-k)}.$$

7. Напряжения опорных узлов ЭС:

$$\dot{U}_p = \Delta U_o + \dot{U}_6.$$

8. Результирующие напряжения в узлах ЭО:

$$\dot{U}_m = \dot{U}_{1m-1} \cdot \dot{U}_{2m} + \Delta \dot{U}_p.$$

Так как по постановке задачи в узлах ЭС заданными являются не токи а мощности, то токи в узлах ЭС определяются:  $I = \frac{1}{\hat{U}}$  и для вычис-

ления уэловых напряжений можно пользоваться одним из итерационных методов. Для паглядности приведенного алгоритма рассмотрим пример электрической сети (рис. 4).

Заданы: токи в нагрузочных узлах—по IA, в генераторном узле (4)-15A, сопротивления ветвей—по 1 Oм, базисный узел с напряжением  $U_0=0$ . Сопротивления МС -2 Oм.

Решение: Разделим всю сеть на 4 ПС. Составим матрицу  $C_{mi}$ .

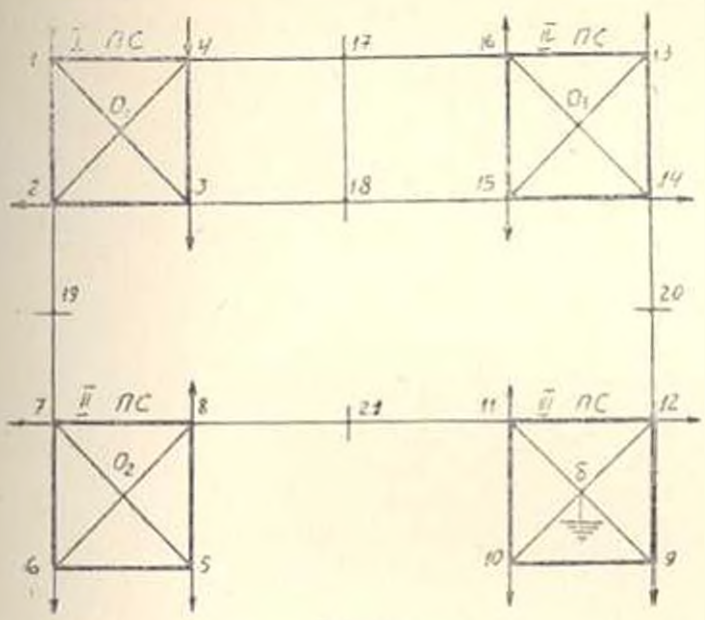


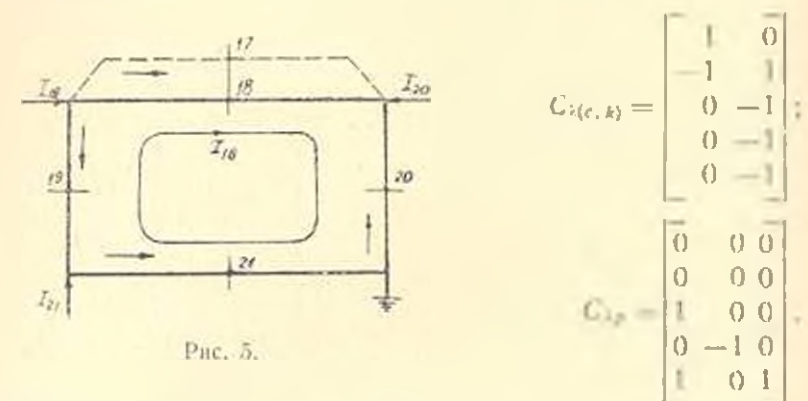
	Рис. 4.	
	17 18 19 20 2	1
1 2 3 4	1 - 1	_1 пс
$\begin{array}{c} 2\\ 3\\ 4\\ 5\\ 6\\ 7\\ 7\\ C_{m\lambda} = \begin{array}{c} 8\\ 9\\ 10\\ 11\\ 12\\ 13\\ 14\\ 15\\ 16 \end{array}$	-1	ппс,
	-1 1	ш пс
	-1 -1 -1	IV TIC
$=Y^{11}=Y^{111}$	$= Y^{1V} = \begin{bmatrix} 3 \\ -1 \\ 0 \\ -1 \end{bmatrix}$	$\begin{bmatrix} -1 & 0 & -1 \\ 3 & -1 & 0 \\ -1 & 3 & -1 \\ 0 & -1 & 3 \end{bmatrix},$
$Z_1^{I} = Z_1^{II} = Z$	$z^{\text{IV}} = Z^{\text{IV}}_{\text{I}} = \frac{1}{15}$	$\begin{bmatrix} 7 & 3 & 2 & 3 \\ 3 & 7 & 3 & 2 \\ 2 & 3 & 7 & 3 \\ 3 & 2 & 3 & 7 \end{bmatrix}.$

YI

Матрица сопротивлений узлов связи относительно опорных узлов

$$Z' = \frac{1}{15} \begin{bmatrix} 44 & 6 & 2 & 2 & 0 \\ 6 & 44 & 3 & 3 & 0 \\ 2 & 3 & 44 & 0 & -3 \\ 0 & 0 & -3 & -3 & 44 \end{bmatrix}.$$

Матрины соединений контурных и узловых токов искусственной цели (рис. 5):



Матрина сопротивления узлов связей, приведениая в базисному узлу:

$$Z_{\rho\rho} = \frac{1}{15} \begin{bmatrix} 82 & 3 & 41 \\ 3 & 44 & 3 \\ 41 & 3 & 44 \end{bmatrix}; \qquad Z_{\rho(\epsilon, k)} = \frac{1}{15} \begin{bmatrix} -1 & -76 \\ 1 & 38 \\ 0 & 38 \end{bmatrix};$$

$$Z_{(\epsilon, k)\rho} = \frac{1}{15} \begin{bmatrix} -1 & 1 & 0 \\ -76 & 38 & -38 \end{bmatrix}; \qquad Z_{(\epsilon, k)\rho} = \frac{1}{15} \begin{bmatrix} 76 & -36 \\ -36 & 152 \end{bmatrix}.$$

Матрины соединений токов искусственной цени с узлами системы

$$C_{m(c,h)} = C_{m,c} \cdot C_{\Lambda(c,h)} = \begin{bmatrix} 0 & 0 \\ 0 & -1 \\ -1 & 1 \\ 1 & 0 & 1 & \Pi C \\ \hline 0 & 0 \\ 0 & 0 \\ 0 & 1 \\ 0 & -1 & \Pi I & \Pi C \\ \hline 0 & 0 \\ 0 & 0 \\ 0 & 1 \\ 0 & -1 & \Pi I & \Pi C \\ \hline 0 & 0 \\ 0 & 1 \\ 1 & -1 \\ -1 & 0 & IV & \Pi C \end{bmatrix}$$

Суммарные токи в ПС:

$$I_p = \begin{bmatrix} 12 \\ -4 \\ -4 \end{bmatrix}$$

1. Узловые напряжения ПС от их узловых токов:

$$U_{1m}^{1} = \frac{1}{15} \begin{bmatrix} 33\\17\\33\\97 \end{bmatrix}; \qquad U_{1m}^{11} = U_{1m}^{111} = U_{1m}^{10} - \frac{1}{15} \begin{bmatrix} -15\\-15\\-15\\-15 \end{bmatrix}.$$

2. Контурные напряжения в искусственной цепи:

$$U_{(c, 4)} = \frac{1}{15} \begin{bmatrix} 80 \\ 928 \end{bmatrix}$$

3. Узловая проводимость контурной цепи:

$$Y_{(e,k)(e,k)} = \frac{15}{10256} \begin{bmatrix} 152 & 36 \\ 36 & 76 \end{bmatrix}$$

4. Контурные токи в искусственной цепи:

$$I_{(c, N)} = \frac{15}{10256} \begin{bmatrix} 45568 \\ 73408 \end{bmatrix}$$

 Дополнительные токи в узлах ПС, вызванные токами, протекающими в линиях связи;

$$I_{m}^{II} = \frac{1}{10256} \begin{bmatrix} 0 \\ 49364 \\ -27840 \\ -45568 \end{bmatrix} \qquad I_{m}^{III} = \frac{1}{10256} \begin{bmatrix} 0 \\ 0 \\ 49664 \\ -8640 \end{bmatrix}$$

$$I_{m}^{III} = \frac{1}{10256} \begin{bmatrix} 0 \\ 0 \\ 8640 \\ 32384 \end{bmatrix} \qquad I_{m}^{IV} = \frac{1}{10256} \begin{bmatrix} 0 \\ -32384 \\ 27840 \\ 45568 \end{bmatrix}$$

Дополнительные узловые напряжения ПС от токов в лишиях связи:

$$U^{1} = \frac{1}{10256} \begin{bmatrix} -341376 \\ -522304 \\ -480576 \\ -501821 \end{bmatrix} \qquad U^{11}_{2m} = \frac{1}{10256} \begin{bmatrix} 73408 \\ 131712 \\ 321728 \\ 88512 \end{bmatrix}$$

$$U^{10} = \frac{1}{10256} \begin{bmatrix} 114432 \\ 90688 \\ 157632 \\ 252608 \end{bmatrix} \qquad U^{11} = \frac{1}{10256} \begin{bmatrix} 95232 \\ 5234432 \\ 337728 \end{bmatrix}$$

 Падения напряжений между опорными узлями ПС и базисным узлом системы;

$$\begin{array}{c|c} 1 & 2334080 \\ \hline 15 \cdot 10256 & 328320 \\ 1276160 \end{array}$$

8. Напряжения опорных узлов ПС:

$$U_p = \frac{1}{16 \cdot 10256} \begin{bmatrix} 2334080 \\ 328320 \\ 1276160 \end{bmatrix}.$$

9. Результирующие напряжения в узлах системы:

$$U_{m}^{1} = \frac{1}{15 \cdot 10256} \begin{bmatrix} 2331152 \\ 1986128 \\ 2191952 \\ 2827088 \end{bmatrix}, \qquad U_{m}^{11} = \frac{1}{15 \cdot 10256} \begin{bmatrix} 247888 \\ 306192 \\ 496208 \\ 262992 \end{bmatrix},$$

$$U_{m}^{11} = \frac{1}{15 \cdot 10256} \begin{bmatrix} -39408 \\ -63152 \\ 3792 \\ 98768 \end{bmatrix}, \qquad U_{m}^{1V} = \frac{1}{15 \cdot 10256} \begin{bmatrix} 1217552 \\ 1070288 \\ 1356752 \\ 1460048 \end{bmatrix}.$$

#### Выводы

- 1. Предложенный способ формирования матрицы C по сравнению c [1] отличается простотой и обеспечивает сокращение вычислительных операций при определении матрицы Z.
- 2. По алгоритмам [4, 5] накладывается ограничение на деление системы на ПС, суть которого заключается и том, что система делится на ПС так, чтобы в каждую ПС ток поступал не более, чем с двух емежных ПС. В предложенном алгоритме нет такого ограничения

АрмПППЗ

Hours on an 13 VII 1977.

#### F. D. SHPRPLEMBER.

# ՔԱՐԴ ԷԼԵԿՏՐԱԷՆԵՐԳԵՏԻՈԱԿԱՆ ՀԱՄԱԿԱՐԳԻ ԿԱՅՈՒՆԱՑՎԱՆ ՌԵԺԵՐԻ ՀԱՇՎՄԱՆ ԱԼԳՈՐԻԵՄԸ

# Uddindinid

Առաջարկվում է բարդ էլեկտրաէներգետիկական համակարդի (էէՀ) կայունացված ռեժիմի հաշվման այգորիթմը՝ հիմնված բարդ էէՀ-ը չկապակցված ենթահամակարգերի (ԵՀ) բաժանման մեթոդի վրա։ Ենթադրվում է, որ բարդ էէՀ-ի ԵՀ-երը ներկայացնում են էներգահամակարդեր (էՀ), որոնք մանում են էներգամիավորման (էՄ) մեջ։

Առաջարկվող ալդորիքվո Տնարավորուքկուն է տալիս լուծելու բարդ ԷԷՀ-երի կայունացված ռեժիմնները, որ Տնարավոր չէ սովորական մեքոդներով։

#### литература

- 1. Крон Г. Исследование сложных систем по частам-диаконтика М. «Илука», 1972.
- 2. Хэпп Х. Диакоптика и электрические цепи. М., «Мир», 1971.
- Хачитрян В. С. Метод и алгоритм расчета установлящихся режимов больших электроэнергетических систем. «Известия АН СССР Энергетика и транспорт», 1973, № 4.
- Под ред. Веникова В. Л. Гірвысненне нычислительных мишин в энергетике. М., «Энергия», 1968.
- Кильмин Я. Ф., Михнитко А. Е. Расчез электрических сезей при заданных монностях в узлах методом разбиения на подсхены «Электричество», 1972. № 5.

Տեխնիկական դիտութ, անշիա

XXXI, No 5, 1978

Серин технических наук

**ЭНЕРГЕТИКА** 

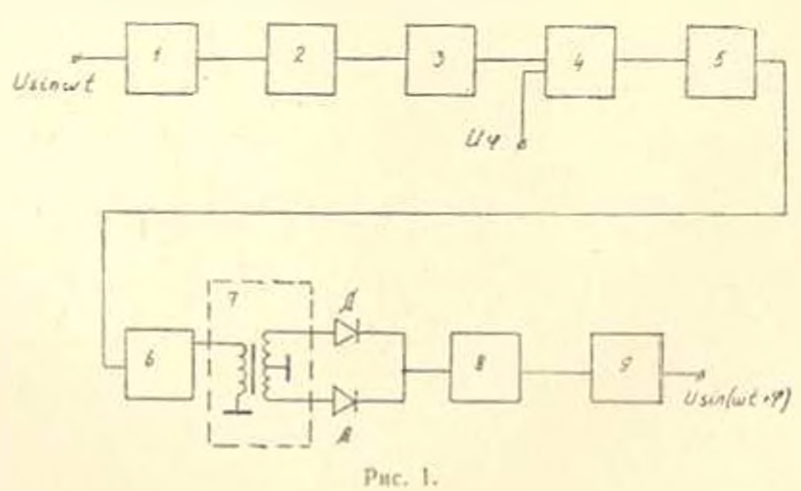
#### Т. П. АСАТРЯН

# УПРАВЛЯЕМЫЕ ФАЗОВРАЩАТЕЛИ

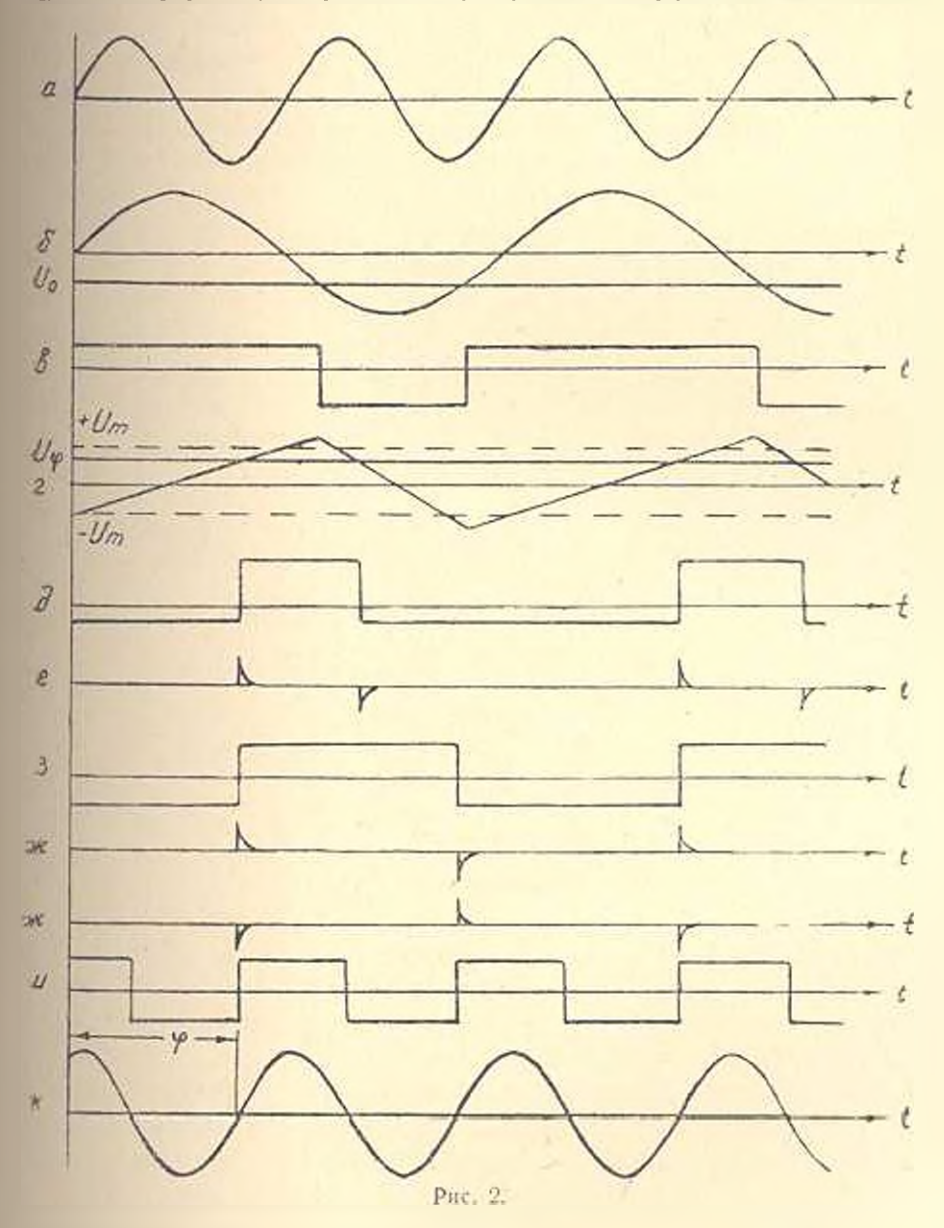
Рассматриваются два управляемых фазовращателя, разработаншае в АрмНИИЭ, с целью моделирования генераторных узлов для расчета статической и липамической устойчивостей сложных энергосистем. Эти фазовращатели могут быть использованы также и различных устройствах связи. Принципы их работы разные и поэтому по некоторым параметрам они существенно отличаются друг от друга. Их параллельное рассмотрение полезно тем, что позволяет сравнить и выявить их недостатки и преимущества.

# 1. Фазовращатель, основанный на использовании передних фронтов треугольных импульсов

В [1] приводится управляемый фоловращатель, работа которого основана на использованый фронтов треугольных импульсов. Он имеет механические (переключатель) и электромеханические (двигатель) элементы, которые понижают сто быстродействие Кроме того, в упомянутом фазовращателе при определенных значениях фазы (0, = 2-) получаются срывы амплитуды выходного сигнала.

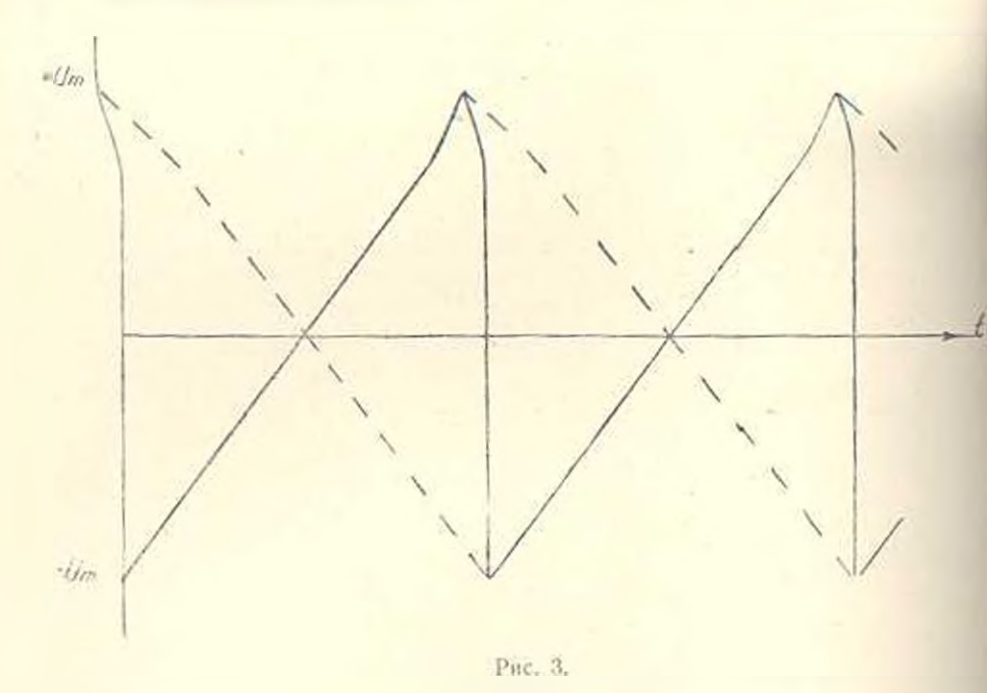


Указанных педостатков лишен рассматриваемый здесь фазовращатель, блок-схема и диаграмми работы которого приведены, соответствения, па рис. 1 и 2. С помощью делителя частоты I частота входного сипусондального напряжения (диаграмма «а») делится на два (диаграмма «б»). Выходное синусондальное напряжение делителя частоты 1 г помощью формирователя импульсов 2 преобразуется в импульсы прямоченной формы (диаграмма «в»), причем, коэффициент заполнения



нипульсов, благодаря смещению  $U_0$ , получается больше 1/2. Затем эти нипульсы суммируются интегратором 3 (диаграмма «г») и подаются на вход компаратора 4, порог срабатывания которого залается управляющим напряжением  $U_z$ . Выходиме импульсы компаратора 4 (диаграмма «д») через дифференцирующую цень (диаграмма «е») подаются на вход одновибратора 6. Выходиме импульсы одновибратора

6 (днаграмма в») подаются на вход импульсного грансформатора 7, который имеет два противофазных выхода. Импульсный трансформатор лифференцирует входные импульсы (днаграммы «ж» и «ж'») и через развелительные диоды  $\mathcal A$  подает их «на вход одновибратора 8». Выходные импульсы одновибратора 8 (днаграмма «и») фильтруются фильтром первой гармоники 9, который выдает сипусоидальное напряжение (днаграмма «к»), слиннутое относительно входной сипусоиды на угол ругол в линейной зависимости от величины управляющего напряжения  $U_{\infty} \in U_{\infty}$  изменяется на 2= без срыва амплитуды выходного синусоидального сигнала.



Часто стоит вопрос об изменении фазы выходного сигнала на не сколько десятков  $\pi$ . Тогда управляющее напряжение  $U_-$  должи иметь инлообразную форму (рис. 3). Длительность «пилы» должна быть гораздо больше периода выходного сигнала.

При значении  $U_{\tau}=-U_m$  фаза выходного сигнала соответствуе нулевому сдвигу. По мере возрастания  $U_{\tau}$  до значения  $4\cdot U_m$ , фаза в линейной зависимости от  $U_{\tau}$  изменяется до  $2\pi$ . При значени  $U_{\tau}=+U_m$  происходит скачкообразное изменение величины  $U_{\tau}$  д значения  $U_{\tau}=-U_m$ . Таким образом, с помощью пилообразног управляющего напряжения можно получить сколь угодно большое значение сдвига фазы  $\phi$ . Для уменьшения фазы следует использовать так же пилообразное напряжение, форма которого пунктирной линией при ведена на рис. 3.

Рассметренный выше фазовращатель можно использовать и для по лучения сдвига фазы больше 2т, по при этом могут получаться одиноч

скачок управляющего сигнала происходит раньше момента сравнения телнчий управляющего сигнала и переднего фронта треугольного импульса. Это приводит к потере одного сравнения этих величии на входе компаратора 4, или, что гоже самое, к потере одного управляющего импульса на входе одновибратора. Описанное явление приводит к одиночным срывам амилитуды выходного сигнала, что в свою очередь не дает гарантию использования рассматриваемого фазовращателя для получения сдвига фазы больше 2 π.

В зависимости от скорости изменения управляющего сигнала и стабильности работы одновибратора амплитуда выходного сигнала может изменяться. Для полной стабилизации амплитуды следует подключить выходу фазовращателя дополнительный ключ и фильтр, т. к. амилитуда выходных прямоугольных импульсов ключа уже не зависит от колебиния амплитуды его входного сигнала. В этом случае появляется возшижность управления амплитудой выходного сипусоидального сигнала вутем изменения величины питающего напряжения ключа.

# 2. Фазовращатель, основанный на использовании синуснокосинусных функциональных преобразователей.

Его математической моделью является известное тождество:

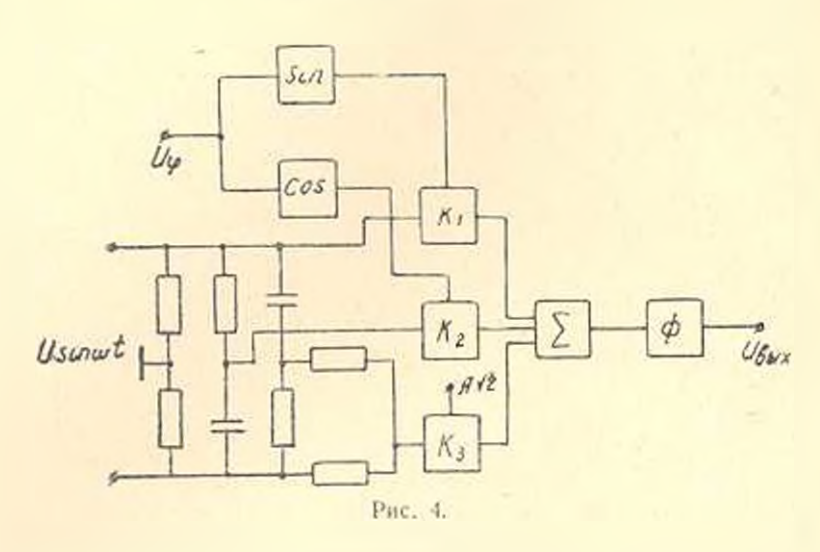
$$A\sin\left(\omega t + z\right) = A\sin\varphi\cos\omega t + A\cos z\sin\omega t. \tag{1}$$

Правая часть (1) представляет собой два вектора, пранцающиеся с угловой скоростью ю, модули которых изменяются по законам синуса и мосинуса. В [2] рассматривается такой фазовращатель, где синуснокосниусные функциональные преобразователи представляют набор сопротивлении с переключателем. Такой способ воспроизведения сипуса в косинуса позволяет получить дискретное вращение фазы. Для плавнего изменения фазы используют сипусно-коспиченые потепциометры. Однако, они являются механическими или электромеханическими элементами, что понижает быстродействие фазовращателя. При использовании электронных сипусно-косниусных функциональных преобразователей возникает вопрос умножения sin > на cos of и cos > на slu of функцию умножения при использовании синусно-косинусных потенциометров выполняют они же сами). В рассматриваемом фазовращателе (рис. 4) вместо устройсти умножения используются электропшые ключи и фильтр первой гармоники, что значительно упрощает схему фазовращателя в целом.

При реализации выражения (1), как опо записано, приходится использовать двухтактим электрониме ключи, т. к. величины A-sin  $\varphi$  и A-cos  $\varphi$  принимают как положительные, так и отрицательные значения. Двухтактиме ключи, по сравнению с однотактимми, более сложны и требуют дополнительного источника питания. Замена двухтактимх ключей на однотактные легко осуществляется при замене выражения (1) на (2)

$$A \sin (\omega t + z) = -(A - A\cos z) \sin \omega t - (A - A\sin z) \cos \omega t +$$

$$+ A 1/2 \sin \left(\omega t + \frac{\pi}{4}\right). \tag{2}$$



Правая часть (2) представляет собой сумму трех векторов, вращающихся с угловой скоростью ю. Один из них постоянный, а два других меняются только по модулю и сдвинуты друг относительно друга на Сказанное излюстрируется на рис. 5, где приведены годографы этих векторов.

Входное синусондальное напряжение поступает на вход двойного мостового фазорасщенителя, а на выходе получаются три напряжения, соответствующие векторам с аргументами:

$$\left| \frac{3}{2} = -(-\sin \omega t); \quad = -(-\cos \omega t); \quad \frac{\pi}{2} - \sin \left(\omega t + \frac{\pi}{4}\right) \right|.$$

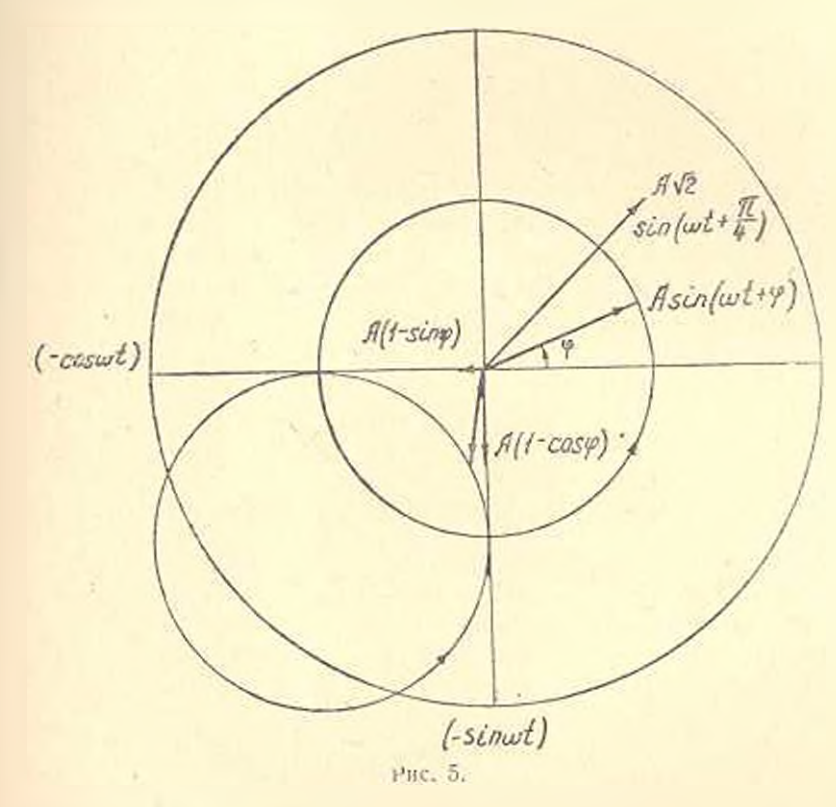
Каждое из этих напряжений поступает на управляющий вход отдельного ключа. Управляющее фазой напряжение  $U_+$  подается на вход синусного и косинусного функциональных преобразователей [3], выходные напряжения которых предварительно смещены на величину  $A_-$  и подаются на входы ключей  $K_1$  и  $K_2$ , а на вход ключа  $K_3$  подается напряжение, равное  $A \vdash 2$ . Выходиые импульсы ключей  $K_1$ ,  $K_4$ ,  $K_5$ , суммируются и поступают на вход фильтра первой гармоники, фаза выходного напряжения которого  $A\sin\left(\omega t + \phi\right)$  находится в липенной зависимости от величины управляющего напряжения  $\phi$ , что и определяет точность преобразования фазовращателя. Отклонение от липенности приводит к появлению погрешности преобразования. Для первой схемы общая по-

грешность складывается из погрешностей компаратора, интегратора и фильтра, а для второй схемы—синусно-косинусного функциональных преобразователей, фильтра и ключа.

Погрешности интегратора, синусно-косинусного функциональных преобразователей и фильтра рассматриваются в [3,4]. Погрешность ключа определяется формулой [5]

$$\Delta z = \frac{\Delta U}{U_m}. (3)$$

где  $\Delta U +$  остаточное напряжение на траизисторе в состоянии насыщения:  $U_m =$  амплитудное значение выходного колца ключа.



Погрешность компаратора легко может быть скомпенсирована путем смещения порога срабатывания.

Расчеты на основании [3,4,5] показывают, что обе схемы дают приблизительно одинаковую погрешность. При применении траизисторов с большим коллекторным и малым остаточным напряжениями (11416) общие погрешности рассмотренных фазовращаетелей составляют менее 1%.

#### Выводы

1. Первая схема управляемого фазовращателя значительно проще второй и ее следует применять в областях, где не требуется сдвига фазы больше 2=.

2. Отличительная особеность второй схемы заключается в том, что здесь полностью исключены срывы амплитуды выходного сигнала при неограниченном вращении фазы и при любой форме наменения управляющего напряжения, в том числе и пилообразной.

АрмНИИЭ

Поступнаю 4 V.1977.

#### H. M. RHUSPBUM

# ՎԵԿԱՎԱՐՎՈՂ ՓՈՒԷԱՊՏՏԻՉՆԵՐ

# Bedefindinia

Հողվածում դիտարկվում են երկու տարրեր սկզբունքներով աշխատող փուլապատիչներ։ Դրանցից մեկի աշխատանքը հիմնված է եռանկյունաձն իմպույսների առաջնային ճակատների օգտադործման, իսկ մյուսինը՝ օինուսկոսինուսային կերպափոխիչների կիրառման վրա։ մույց է տրված, որ դրանաից առաջինը նպատակահարմար է օգտագործել մինչև 25 փուլային շեղում ստանալու համար նպատանալու համար նպատական արմար է օգտագործել նրկրորդ փուլային շեղում ստանալու համար նպատական արմար է օգտագործել նրկրորդ փուլային չերում

#### ЛИТЕРАТУРА

- 1. Управляемый фазоприщатель. Авторское свидетельство № 299947.
- Преснухин Л. И. в др. Муаровые растровые датчики положения и их применение: М., «Радио», 1969.
- Асатрян Т. П., Амбарцумян Г. Г. Синусно-косинусный функциональный преобразователь. «Навестия АН Арм. ССР (серия Т. Н.)». т. XXIX. № 2, 1976.
- Коган Б. Я. Зэлектронные моделирующие устройства и их применение для исследолания систем автома тического регулирования. М., Физматтиз, 1963
- Асаханян Т. М. Электронные ключи и пелинейшые купульсные усилители. М. «Радио». 1966.

# 

Տեխնիկական գիտուր, սեբիա

XXXI, No 5, 1978

Серия технических пилк

ГИДРАВЛИКА

#### В О. ТОКМАДЖЯН, Г. И КАРАПЕТЯН

# К ГИДРАВЛИЧЕСКОМУ РАСЧЕТУ ШАХТНОГО ВОДОСЛИВА

Существу ощий метод расчета шахтного водослива предложен А. Н. Ахутином [1] Радиус шахтного водослива определяется на основе универсальной формулы водослива:

$$R_1 = \frac{1}{2\pi} \left( \frac{Q}{m + 2\bar{\varrho} H^{**}} - ts \right) \tag{1}$$

где m, H — коэффициент расхода и напор водослива; t, s — число и ширина бычков; s — коэффициент сжатия, принимаемый в среднем 0,9 (при наличин бычков).

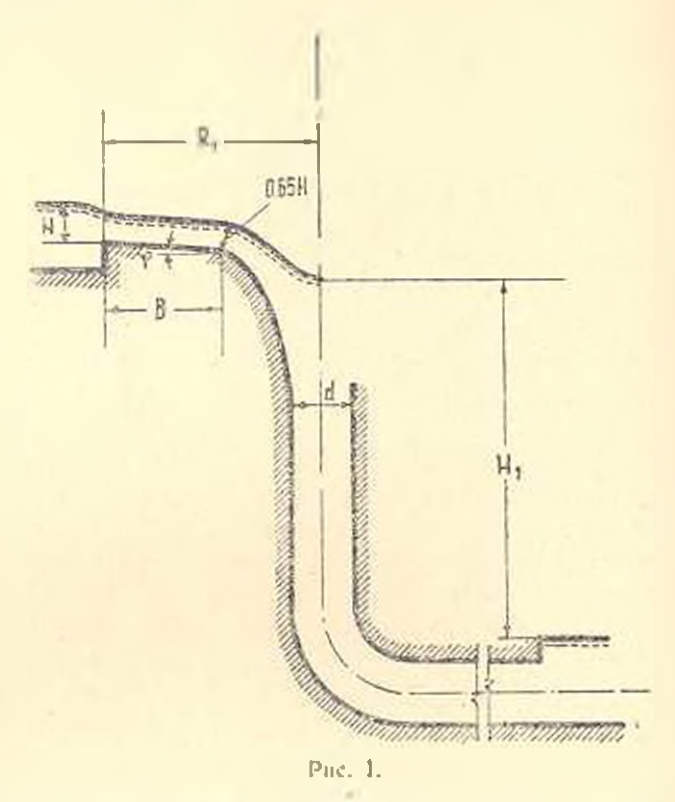
При 2 — 5 применяется водослив с практическим профилем, а при  $R_1/H > 7$  с плоским гребнем. Длину гребня берут 3,5  $H < B < (0.4 - 0.5) R_1$ , а угол наклова  $\Rightarrow 6^\circ - 9$  (рис. 1). Далее принимается, что в конце гребня глубина равна 0,65 H.

Профиль водослива делается безвакуумным, а диаметры шахты и отводящего тониеля принимаются из расчета, чтобы весь напор  $H_1$  затрачивался для преодоления гидравлических сопротивлений в напорной системе. Аналогичен и расчет шахтного водослива с практическим профилем без плоского гребия.

Имсем следующие возражения к отмеченному методу.

- 1 Формула водослива (1) присмлема для случая, когда в начальном сечении геометрический уклоп больше критического ( $i_0$  sin водослив является не полуопленным.
- 2. Значение глубины в конце гребия, принятое 0.65 H, является грубо приближенным и необоснованным. Он зависит от вначений исходных гидравлических параметров.
- 3. Безвакуумный профиль не всегда является рациональным и даже возможным. При больших расходах и малых напорах H диаметры поронки, шахты и топнеля получаются большими. Пересечение кривых своболных поверхностей струй на оси происходит на большой глубине. Возможно также, что пересечение будет на глубине больше фактической  $H_1$ . При безвакуумном профиле уменьшается общий напор системы  $H_1$ , что приводит к увеличению диаметров шахты и отводящего тоннеля. Нам кажется целесообразным профиль водослива выбрать напорным, с близким пересечением кривых свободной поверхности, что

обеспечивает меньшие значения диаметров шахты и топнеля и экономически болсе выгодно.



- Метод не дает возможности гидравлического расчета в случае подтопленного водослива и водослива при расходах и диаметрах топиеля и шахты, отличных от расчетного.
- 5. Полная средняя скорость в произвольном сечения струн ( $v_0$ ) [1] определяется неточно:

$$v_n = \sqrt{v_x^2 + 2\sigma y + 2v_x \sin \alpha + 2g\overline{y}}. \tag{2}$$

Третий член под корнем не существует, что легко доказать по энергетическому балансу:

$$\frac{mv_{\pi}^{2}}{2} = \frac{mv_{s}^{2}}{2} + mgy_{s}$$
(8)

где m-масса воды,  $v_t-$ средняя скорость в начальном сечении (в конше гребня); y-ордината оси произвольного сечения, считая от начального.

Нами предлагается новый метод гидравлического расчета шахтного водослива, рассматривая движение воды на участке плоского гребия и волосливного профиля любого заданного очертания как неравномерное движение с радиальными линиями тока в плане и криволинейными живыми сечениями по пормали к движению. Построение кривой свободной поверхности на участке плоского гребня проводится интегрированием на ЭВМ энфференциального уравнения веравномерного дынжения в цилиндрических координатах [2], которое эля данной расчетной схемы имеет вид:

$$\frac{dh}{dr} = \frac{\frac{1}{gr^2h^3}\left(\frac{n\cdot g}{\alpha h^{2^3}} - \frac{h}{r}\right)}{\frac{gr^2h^3}{gr^2h^3}}$$
(4)

тде  $l_0=\sin\frac{\pi}{2}$ — уклон гребня; a— коэффициент неравномерного распределения скоростей (принимается r=1.1); h— глубина потока; r— развус произвольного сечения; n— коэффициент ппероховатости; p—показатель в формуле Павловского;  $q=\frac{Q}{Q_0}$ — удельный расход.

Граничными условиями будут при:  $r = R_1$ ;  $h = h_{\rm up}$  ( $R_4$  — радиус гребия водослива;  $h_{\rm sh}$  — критическая глубина).

Анализ уравнения (4) показывает, что для бурного потока по направлению уменьшения радиуса r (направления движения) геометрическое падение ( $i_0$ ) уменьшает, а гидравлические сопротивления (член  $q^*n^-jr^2h^{N+2y}$ ) и сужение русла (член увеличивают глубину. В результате глубина вдоль плоского порога может меняться в довольно широком диапазоне.

Гидравлический расчет норонки сволятся к интегрированию диффежимального уравнения неравномерного движения с учетом криволиейности дна по заданному закону профиля, которое имеет вид [3]:

$$\frac{dh}{dl} = \frac{\left(1 + h\frac{d\sigma}{dl}\right)\sin \varphi - \frac{Q^2}{\omega^2 C^2 R}\left[1 - \frac{C^2 R}{2\omega}\left(1 - k\frac{h}{R_0}\right)\frac{d\omega}{dl}\right]}{\cos \varphi} \qquad (5)$$

где  $\phi$  — угол между вертикалью и направлением данного сечения; k — коэффициент коррекции ( $k \approx 1.0$ ).

В случае, когда профиль воронки представляет дугу окружности, имеем  $dI = R_0 d\phi$  ( $R_0$  радиус кривизны). Площадь живого сечения в пормальном направлении определяется выражением  $2\pi rh$ , где r — средний радиус сечения, равный:

$$r = R_* - (R_0 - 0.5h) \sin z + R_0 \sin z_0.$$
 (6)

Здесь  $R_2$  — начальный радиус воронки (рис. 2);  $\varkappa=2\pi(r+0.5h\sin\varphi)$  — счоченный периметр.

Имея в виду, что

$$\frac{\partial \omega}{\partial l} = -2\pi h \left( 1 + \frac{h}{2R_0} \right) \cos \varphi, \qquad \frac{\partial \omega}{\partial h} = 2\pi (r - 0.5h \sin \varphi)$$

и принимая коэффициент Шези по формуле Павловского  $C=rac{1}{r}R^{r}$  . после преобразований получим:

> $\frac{dh}{dz} = \frac{X}{Y}$ . (7)

где

$$X = (R_0 + h) \sin \varphi - \frac{aq^2 R_0}{gr^2 h^3} \left[ \frac{n^2 g \left( 1 + \frac{h}{2r} \sin \varphi \right)^{2\gamma + 1}}{ah^{2\gamma}} + \frac{h}{r} \left( 1 + \frac{h}{2R_0} \right) \left( 1 - h \frac{h}{R_0} \right) \cos \varphi \right],$$

$$Y = \cos \varphi - \frac{aq^2}{gh^2 r^3} \left[ r \left( 1 - \frac{kh}{2R_0} \right) - \frac{h \sin \varphi}{2} \left( 1 - \frac{kh}{R_0} \right) \right]$$

$$-R_1^{-19.38m}$$

$$-R_2^{-19.38m}$$

$$-R_2^{-19.12}$$

$$-R_3^{-29.112}$$

$$-R_4^{-2} \frac{19.38m}{h^2 r^2 h^3}$$

$$-R_4^{-2} \frac{19.38m}{h^2 r^2 h^3}$$

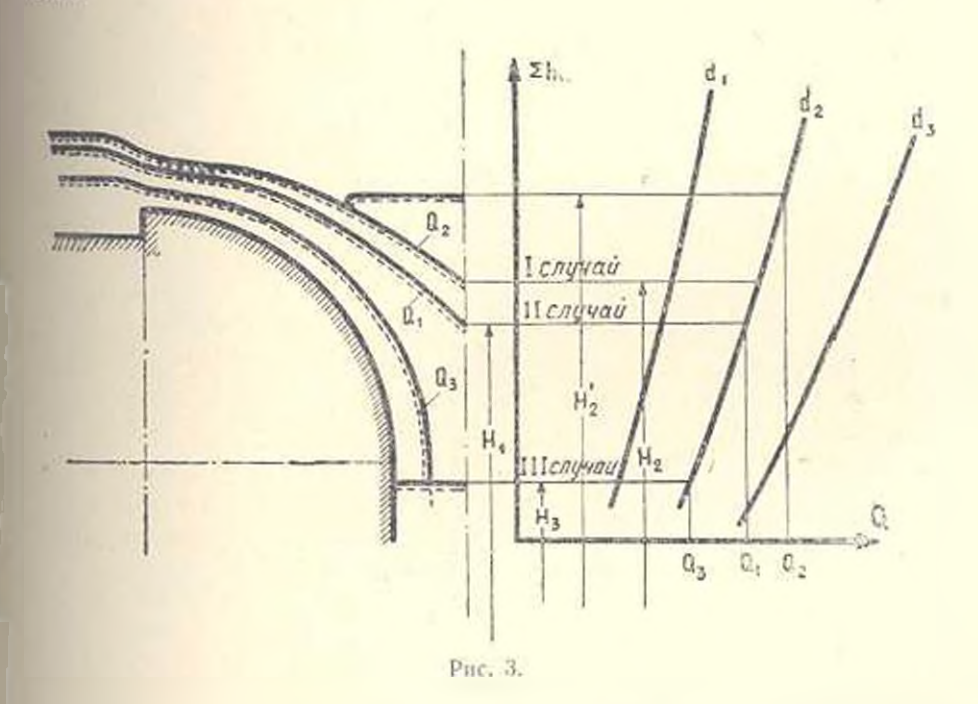
Pac. 2.

Интегрирование (7) на ЭВМ производится аналогично методу, приведенному в [5], и по результатам вычислений строится кривая свободной поверхности на участке воронки.

Давление на поверхности профиля воронки до пересечения кривой свободной поверхности с осью, с учетом его отклонения от гидростатического определится по формуле [4]:

$$\frac{P}{\gamma} = h\cos\varphi - \frac{h\varphi}{gR_0}.$$
 (8)

Днаметр отводящего тоннеля определяется из вышеуказанного приндина.



Предложенный метод дает возможность провести гидравлический расчет при разных режимах работы шахтного водослива, в том числе и при подтопленном режиме. Пусть в первом случае (рис. 3) при расчетном расходе  $Q_1$  пересечение кривой свободной поверхности с осью происходит на высоте, которая обеспечивает равенство напора  $H_1$  и гидравлических потерь энергии  $\sum h_n$ . Во втором случае при расходе  $Q_2$  пересечение происходит на высоте  $H_2$ . В этом случае образуется круглый гидравлический прыжок и в спокойном режиме уровень над воронкой становится равным  $H_2 = \sum h_n$ , что обеспечивает пропуск данного расхода. Когда уровень при спокойном режиме вследствии круглого прыжка будет выше отметки начала гребия водослива плюс критическая глубина, шахтный водослив работает в подтопленном режиме.

Расход подтопленного водослива определится:

$$Q = \varepsilon m \left( 2\pi R_1 - t s \right) h V \overline{2g (H - h)}, \tag{9}$$

где h—возвышение уровия воды в воронке над начальной отметкой гребня.

В третьем случае расход волослива С настолько мал, что кривая свободной поверхности не пересекается с осью. При этом в шахте установится уровень воды, соответствующий гидравлическим потерям напо-

ра  $H_1 = \sum h_n$ . Наиссение характеристических семейств кривых позмляет анализировать работу шахтного нодослива при разных диаметритоннеля.

Пример:  $Q=469~{\rm M}^3/c$ :  $H=1.8~{\rm M}$ ;  $d=5.0~{\rm M}$ ;  $R=9.11~{\rm M}$ . Определяем  $R_1$  по (1)  $R_1=19.38~{\rm M}$  и принимаем  $\gamma=7^{\circ}$ ,  $B=8.89~{\rm K}$  Бритическая глубина в начале гребия без бычков будет:

$$h = \int \frac{1}{(2\pi R_1)^2 g \cos \varphi}$$

Интегрируя на ЭВМ уравнение (5) с начальными координатам  $r_1 = R_1 = 19.38$  м,  $h_1 = h_{\rm sip} = 1.19$  м, получим координаты кривой свободной поверхности до конца плоского грабия. С этого сечения интегрирование производится по (7) до пересечения кривои свободной повериности с осью шахты. Одновременно определяется и давление вдоль профиля воронки.

На рис. 2 дана кривая свободной поверхности и этюра давления для указанного примера.

Учет гидравлических сопротивлений незначительно влияет на результаты вычислений и в практических расчетах ими можно в большинстве случаев пренебречь. Указанное условие не только облегчает расчет, но и позволяет его вести при любом сложном профиле, используя метод непосредственного применения уравнения Бернулли.

#### Выводы

- 1. Существующий метод гидравлического расчета шахтного водослива имеет существенные недостатки и нуждается в усовершенствовании.
- 2. В предлагаемом методе гидравлического расчета шахтного водослива движение воды на участке плоского гребня и водосливной воровки рассматривается как неравномерное с раднальными линиями тока в плане и криволинейными живыми сечениями по нормали к движению
- 3. В основу расчетов принимается дифференциальное уравнение неравномерного движения в открытом русле с криволинейным дном, с учетом отклонения давления от гидростатического вследствие воздействия центробежных сил.
- 4. Предложенный метод позволяет проводить гидравлический расчет шахтного водослива при разных режимах работы.

ЕрПИ им. К. Маркса

Поступило 17.1V 1978

#### 1. E pherussub, 2. p. huruaussub

## ՀՈՐԱՆԱՅԻՆ ՋՐԱԹԱՓԻ ՀԻԳՐԱՎԼԻԿԱԿԱՆ ՀԱՇՎԱՐԿԻ ՄԱՍԻՆ

#### Ամփոփում

Առաջարկվում է Հորանային ջրկափի հիդրավլիկական հաշվարկի նոր մաթող, որում ջրի շարժումը ջրաթափի շնմբի և ձաղարի վրա դիտարկվում է «րգիս պլանում շառավիղային հոսքի գծերով և կորադիծ կենդանի կտրվածը-հիրով անհավասարաչափ շարժում։ Խնդրի լուծումը հանդում է ԷՀՄ-ի օգնու-թյամբ շեմքի և ձագարի մասում անհավասարաչափ շարժման դիֆերենցիալ հավասարման ինտեգրմանը։ Առաջարկված մեթոդը հեարավորություն է տաւիս կատարնյու չյքնափի հիդրավլիկական հաշվարկը տարբեր ելբերի և ջրա-թափերի պրոֆիլների համար ինչպես չսուդված, այնպես էլ սուդված ռեժիմ-հերի դիպըում։

#### ЛИТЕРАГУРА

- Еправочинк по гидротехнике, М., Госстройиздат, 1955, с. 115.
- Поккаджян В. О. Растекание круглой вертикальной струи при встрече с конической поверхностью. Сб. науч. тр. ЕрПП, сер. «Строптельство и архитектура», т. 26, 1975, с. 160—166.
- 3. Токмоджян В. О. О гидраплическом расчете каналов с криволинейным яном. «Павестия АН Арм. ССР. (серия Т. Н.)», т. XXXI, № 3, 1978.
- Токмаджян В. О. Распределение давлении в каналах с криволинейным диом. Межвул. еб. науч. тр. Epfill «Строительство и архитектура», сер. XII, вып. 2, Ереван. 1976, с. 268—270.
- Токмаджян В. О. К интегрированию дифференциального уравнения перавномерного движения жидкости в открытых руслах, Межвуз, сб. науч. тр. ЕрПи «Строительство и архитемлура», сср. XII, вып. 3, Еревви, 1977, с. 150.

## 211341141115 1112 ЧЕЯПЕФЗПЕСТЕР ЦЧИЛЬГЕЦЗЕ ЗБОДЫЦЧЕР ИЗВЕСТИЯ АКАДЕМИИ НАУК АРМЯНСКОЙ ССР

Տեխնիկական գիտուր, սեբիա

XXXI, Nº 5, 1978

Серия технических наук

ГИДРАВЛИКА

#### С А АНАЦЯН Ж А АЧОЯН, А. К АНАЦЯН

# О НЕКОТОРЫХ РЕЗУЛЬТАТАХ ИССЛЕДОВАНИЯ ПРОЦЕССОВ МАССОПЕРЕНОСА ФИЛЬТРАЦИОННЫМ ПОТОКОМ В ГРУНТАХ

Освоение засоленных земель методом химической мелиорации является слабоизученной проблемой. Опыты ноказали, что содоные солончаки Араратской равчины можно освоить в кратчайшие сроки, когда капитальные промывки осуществляются однопроцентным раствором серной кислоты или порошком железного купороса по технологии, разработанной ИНН Почвоведения и Агротехники МСХ Арм. ССР.

Методика натурных и теоретических исследований по данному вопросу изложена в [1—4], поэтому в статье она не освещается.

## §1. Результаты натурных исследований по водно-солевому режиму

Промынку засоленных земель предусмотрено производить после строительства систематического горизонтального дренажа средней глубиной заложения, равной 3,5 м, и междренным расстоянием, равным 150—200 м. Расчетные параметры дренажа установлены, исходя из натрузки на дрены в эксплуатационный период.

Промывка содовых солончаков Араратской равнины осуществляется методом химической мелнорации, которая разработана НИН Почвоведения и Агрохимии Арм. ССР [5-7]. Содовые солончаки обрабатываются слабым раствором серной кислоты (0,8-1%) или порошком железного купороса с проведением последующих промынок для удаления солей и продуктов реакции. В результате кислования имеет место радикальное улучшение почвы в смысле нейтрализации щелочности, разложения карбонатов с переходом в сульфаты в бикарбонаты кальция и магиия, свертывание гидрофильных коллондов, образование высокоднепереного гипса, активизация кальпиевых соединений и питательных элементов почвы. Благодаря разложению карбонатов кальшия, в среде образуются ионы кальция, которые приводят к изменению соотношений обменных катнонов в сторону вытеснения натрия из поглощенного комплекса и замены его понами кальции. В процессе кислования получаются продукты реакини, удаляемые из почвы промывными водами, в т. ч. и гилс, мелиоративная роль которого сказывается на последующих стаднях мелноранин.

Промывные нормы при химическом методе мелиорации содовых содвичаков определяются по воднорастворимому и поглощенному комплексу (Na+K).

Оныты [1,6] показали, что эти нормы для воднорастворимого комшлекса (Na+K) при допустимом пороге токсичности, равном 1.5 мг-экв. получаются в 2—3 раза больше по сравнению с поглощенными (Na-K) при допустимом пороге токсичности, равном 4 мг-экв. Последующие все расчеты относятся к воднорастворимому комплексу (Na+K), так как он является главным показателем при установлении степени рассоления почвы и груптовых вод.

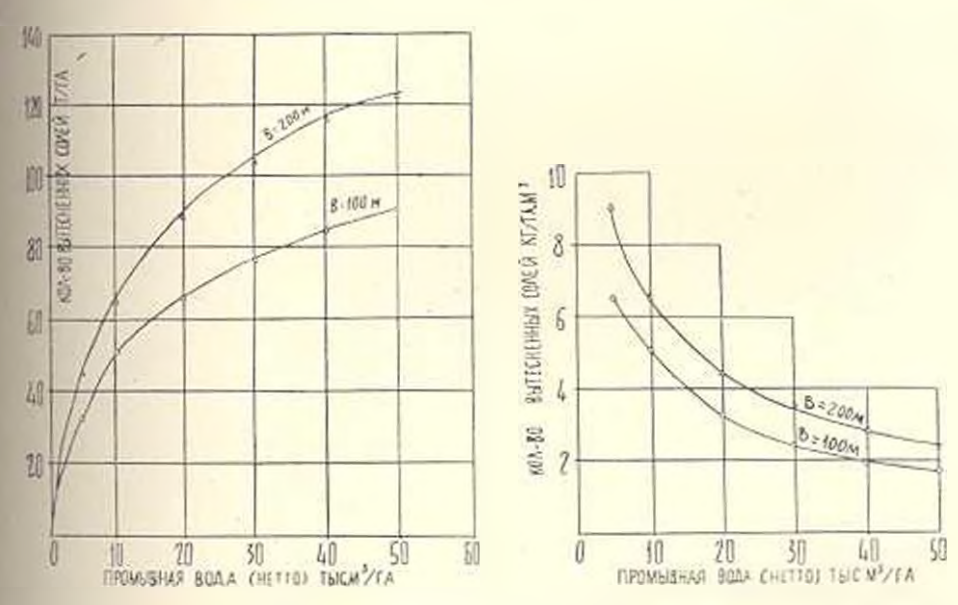


Рис. 1. Изменение коэффициента солеотдачи и записимости от объема промынной поды и междренного расстояния.

Процесс солсотдачи засоленной почвы при промывках на фоне горизоптального дренажа при междренном расстоянии, равном 100 и 200 м, приведен на рис. 1. Кривые получены на основании многолетних исследований [1] на опытно-дренажном пункте НИИВПиГ при промывке содовых солончаков однопроцентным раствором серной кислоты в порошком железного купороса. Опыты производились на средних и тяжелых суглинках, характерных для почвенных разностей Араратской равнины.

На рис. 2—3 приведены характерные опытиме кривые рассоления почвы в зависимости от объема поданной в чек промынкой воды [1]. Сплошные кривые соответствуют воднорастворимому (Na+K), а пунктирные—поглощенному (Na+K).

На рис. 4—6 приведены характерные эпюры распределения по глубине воднорастворимого комплекса (Na+K) по различным почвенным разрезам [1].

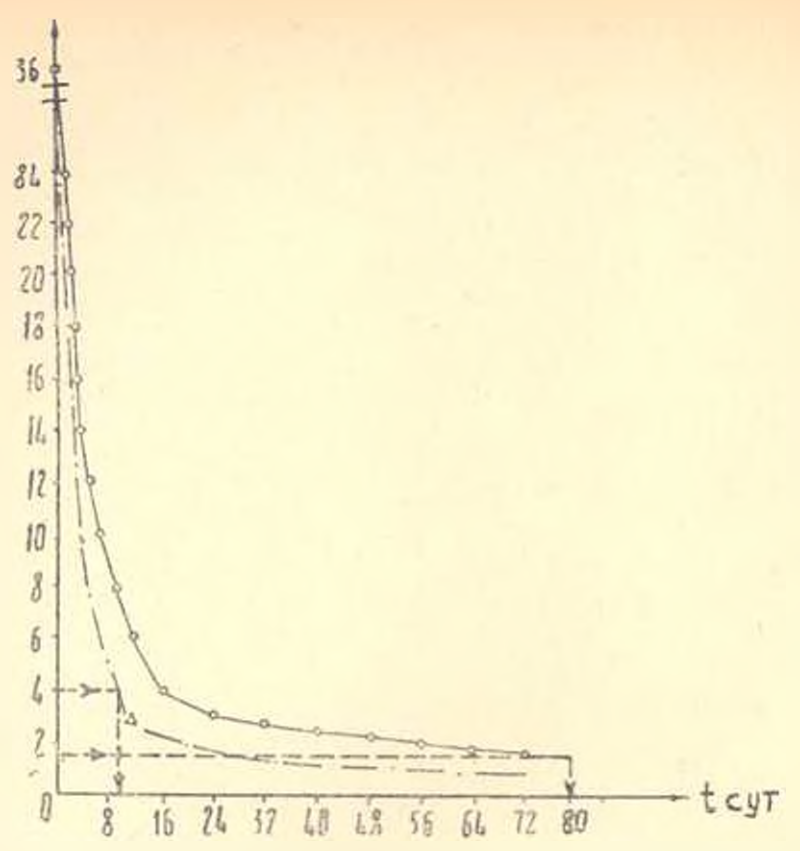


Рис. 2. Изменения запасов солей в почве в зависимости от объема промывной поды для воднорастворимого (Na + K) и поглощенного (Na + K) комплекса (гижелосуглицистые почвы).

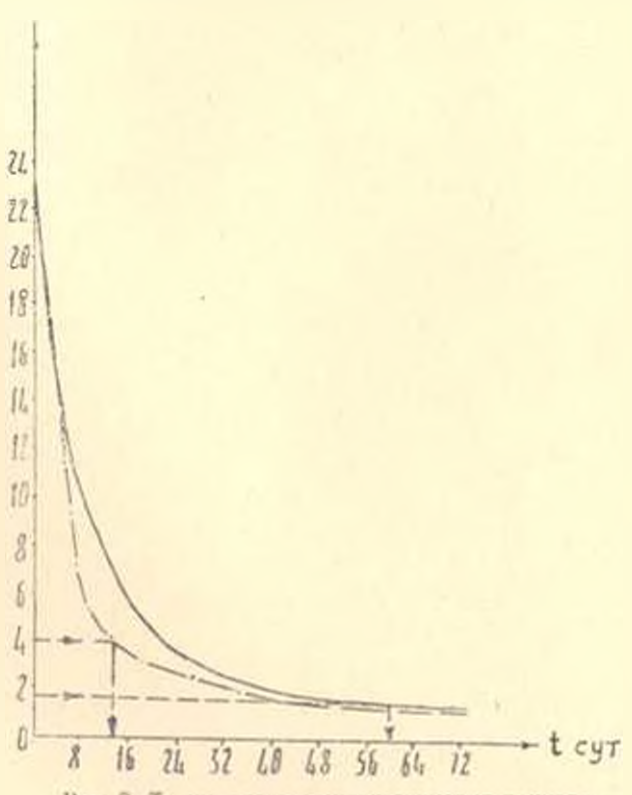


Рис. 3. То же для средне-суглинистых груптов.

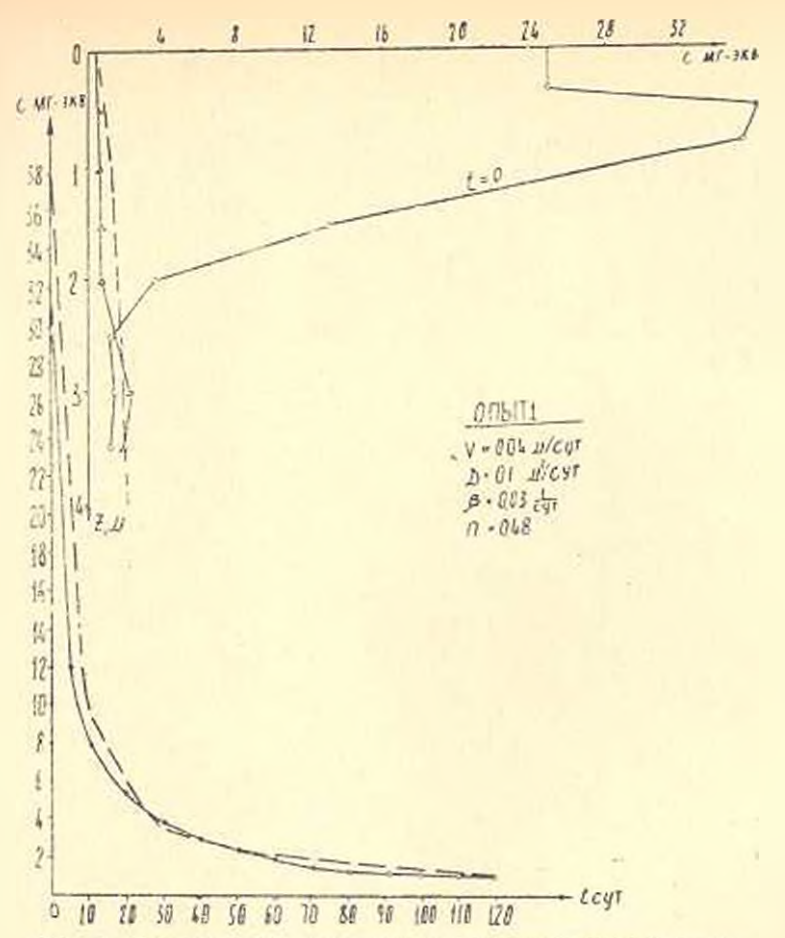


Рис. 4. Сопоставление опытных и расчетных кривых воднорастворимого комплекса (Na + K) (опыт 1).

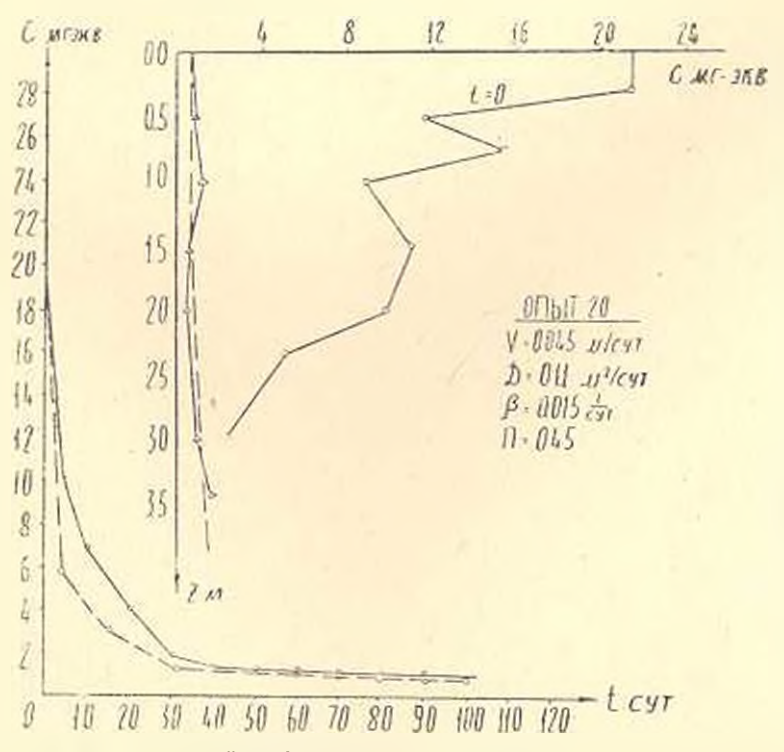
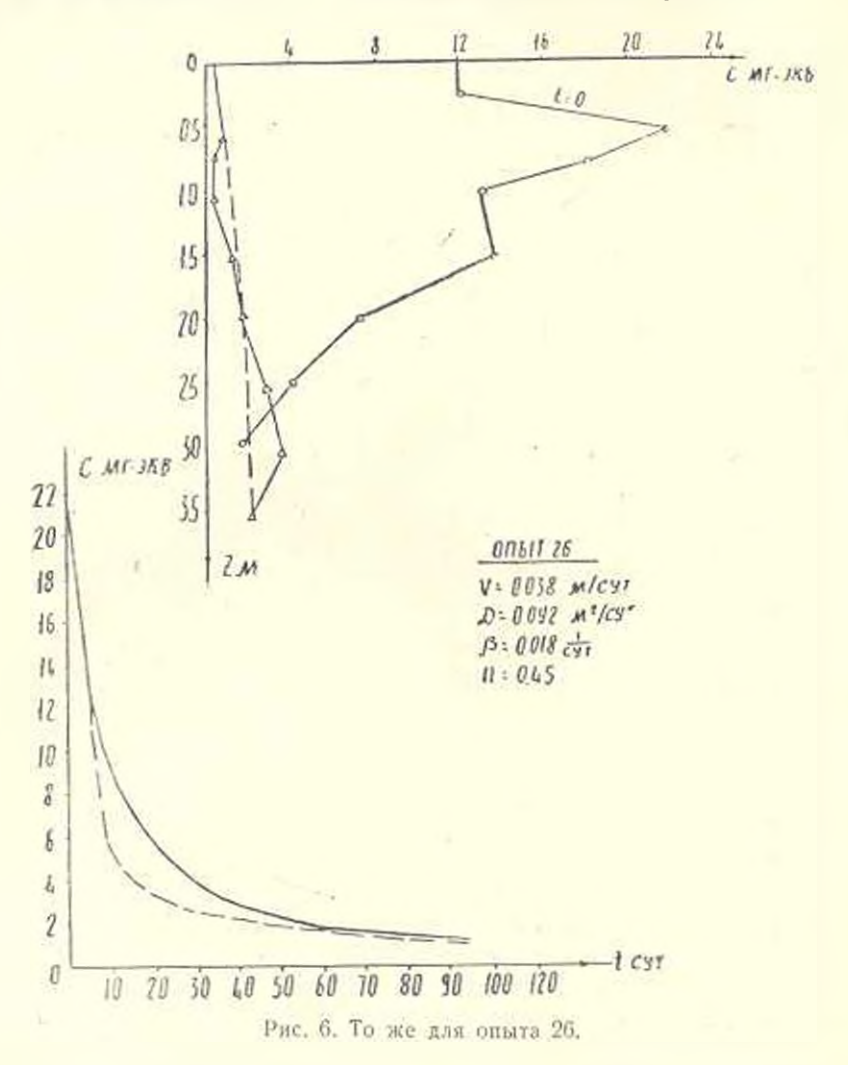


Рис. 5. То же для опыта 20,

По данным кривых рис. 2—3 при заданном содержании в почве (Na+K) для допустимого 1,5 менкв порога токсичности воднорастворимого (Na+K) кструдно определить промывные пормы.



Натурные опыты показали, что продолжительность промывки на фоне систематического горизонтального дренажа по непрерывной схеме подачи воды в чеки в зависимости от междренного расстояния, степени засоленности почвы, коэффициента фильтрании и водно-физических характеристик грунтои длится от 60 до 130 суток. При порме промывки, равной от 25000 до 50000 м³/га, средняя скорость инфильтрации воды в зоне аэрации при постоянной глубине воды в чеке, равной 0,20—0,4 м, достигает от 0,04 до 0,05 м/сут, а на отдельных вертикалих —до 0.07 м/сут.

Скорость отвода промывных вод, которая создает систематический дренаж при напоре  $h=3.0~\mathrm{M}$  (при междрениом расстоянии, равном  $B=150~\mathrm{M}$ ), получается:

$$v = \frac{-kh}{B\left(\ln\frac{B}{d} - 1\right)} = \frac{3.14 \cdot 3.5 \cdot 3}{150\left(\ln\frac{150}{0.5} - 1\right)} = 0.047 \text{ m/cym}. \tag{1}$$

Отсюда видно, что при капитальной промывке отпадает необходимость строительства временного дренажа для отвода части промывных вод, так как скорость отвода, создаваемая систематическим дренажом, в среднем, получается равной скоростям инфильтрации в зоне аэрации.

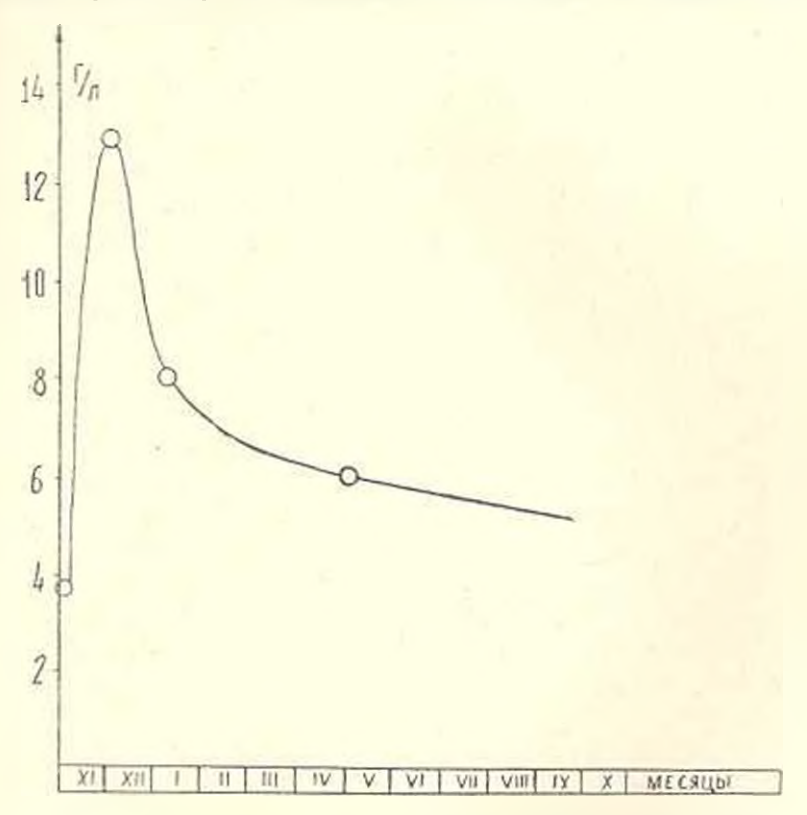


Рис. 7. Изменення по премени минерадизации поды и дренаже в процессе капитальных промывок.

При капитальных промывках дренажный модуль в среднем достигает  $4 \pi / ce\kappa \cdot ca$ , а иногда и больше при междренном расстоянии, равном 150-200 м [1]. При этом содержание водно-растворимых (Na+K) ночвенного раствора в чеках от своего начального значения 30 мг-эка (25-30 г/л) в процессе промывки уменьшается и в конце промывки достигает в среднем 1.5-2 мг-эка. При этих условиях общая минерализация вод в закрытых дренажах (рис 7) в начале промывки увеличивается и достигает 14 г/л, а затем по времени уменьшается и приближается к 3-4 г/л. В зависимости от числа одновременно промываемых чеков количество солей, поступающих в дрены, увеличивается, но концентрации солей при этом не будет сильно изменяться (характер кривой рис. 7 существенно не изменится), г. к. с увеличением тоннажа солей пропорщионально увеличится и объем воды.

По инструкции [8] МСХ иММиВХ Арм. ССР предусмотрены на рассоленных землях поливные пормы увеличивать на 20—30% по отношению к обычным. Это положение установлено, в основном, из условии получения максимального урожая сельскохозяйственных культур и создания необходимой интенсивности висходящего фильтрационного потока в зоне аэрации и среднегодовом периоде времени. В эксплуатационный период полна намечается проводить речными водами, минерализация которых равняется 0,5 г/л, и откаченными водами из слабонапорного водоносного слоя, минерализация которых не превышает 1 г/л. При этом токсические компоненты солей в воде отсутствуют.

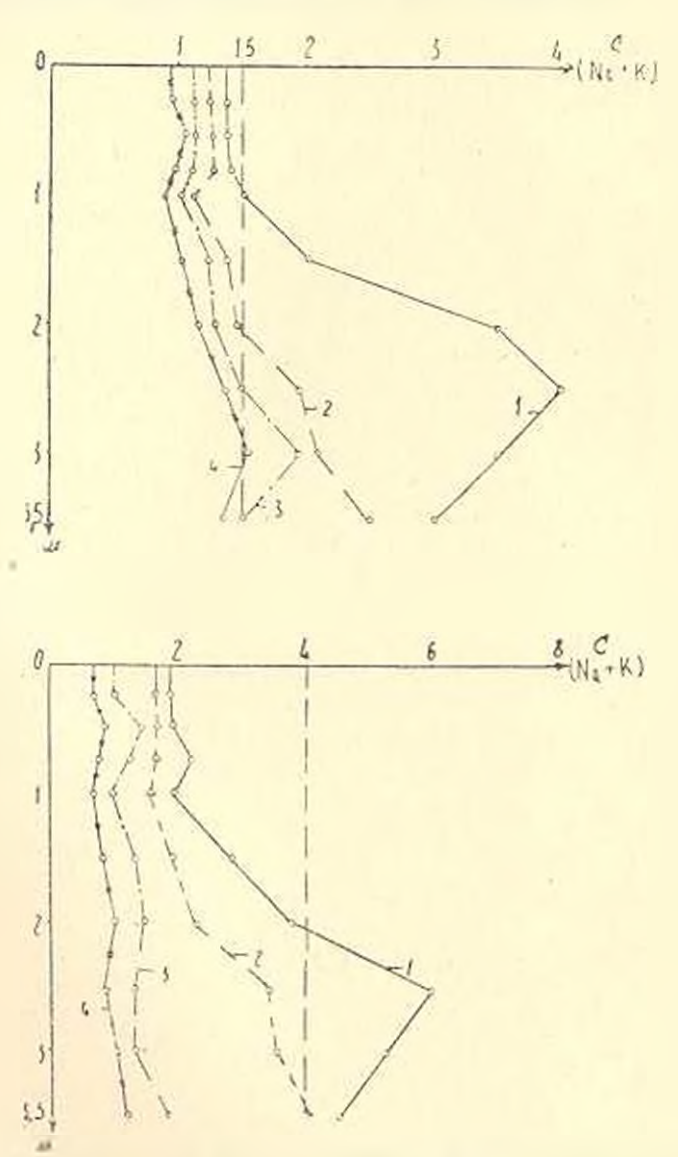


Рис. 8. Изменение по времени (по голам 1, 2, 3, 4) воднорастворимого комплекса (Na + K) в лоне аврации в период сельскохозяйственного освоения земель (орошения).

Четырехлетине исследования [1,2] на рассоленных землях в условиях работы горизонтального дренажа и выращивание сельскохозяйственных культур (люцерна и плодовые сады) показали, что за этот нериод рассоление почвы происходит по всей толще зоны аэрации (три метра и больше, рис. 8). Кроме того, в грунтовых водах и в почвах токсические компоненты смываются и уносятся дренажом. Поэтому потенциальные возможности реставрации процессов засоления при глубине осущения, равной 3 м. практически исключаются (испарения с поверхности грунтовых вод при глубине осущения 3 м достигают своих минимальных значений).

# § 2. Расчет водно-солевых режимов при капитальных промывках

Приведенные экспериментальные данные полно и надежно характеризуют работу систематического дренажа и период канитальных промывок и орошения. По этим показателям можно разрешить основные вопросы динамики водно-солевых процессов в почвах и в грунтовых подах. С целью более широкого обобщения результатов натурных песледований изложим приближенную методику расчета этих процессов, используя методы физико-химической гидродинамики.

При решении этой задачи мы не будем пользоваться существующими готовыми решениями, так как численным методом можем более точно учитывать особенности задачи.

Основные вопросы динамики водно-солевых процессов в период канитальных промывок и орошения приближение можно разрешить при помощи известных дифференциальных уравнений массопереноса в фильтрационном потоке, которые для одномерной задачи можно представить в следующем виде:

$$D\frac{\partial^{2}C}{\partial z^{2}} - v\frac{\partial C}{\partial z} + \beta\left(C_{0} - C\right) = n\frac{\partial C}{\partial t}$$
 (2)

где С—концентрация почвенного раствора для воднорастворимого комплекса; v—скорость фильтрации: D, в—коэффициенты конвективной диффузии и скорости растворения для воднорастворимого комплекса; C<sub>в</sub> — концентрация предельного насыщения, которая принимается равной максимальному значению концентрации воднорастворимого комплекса; пористость грунта; z—вертикальная ось (начало координат расположено на поверхности почвы); l—время. Не останавливаясь на некоторых, пока перешенных вопросах о применимости дифференциального уравнения (2) для содово-засоленных почв отметим, что после химической мелнорации качественные характеристики почвы претерневают сильные изменения, их характеристики кислования приближаются к характеристикам почв, для которых дуффузионные законы Фика применимы. В значительной степени эти перешенные вопросы разрешаются положительно тогла, когда величины коэффициентов, которые входят в

уравнение (2), определяются из патурных опытов в соответственных почвенно-гидрогеологических условиях.

Дифференциальные уравнения (2) будем решать при следующих начальных и граничных условиях:

$$t=0; C(z)=\varphi(z); (3)$$

$$t > 0;$$
  $z = 0;$   $C = C_0;$  (4)

$$z = M; \qquad \frac{\partial C}{\partial z} = 0. \tag{5}$$

На опытно-дренажиом пункте НИИВПиГ были поставлены специальные опыты для определения значений коэффициентов конвективной диффузии, скоростей растворения и фильтрации [1—2].

Дифференциальное уравнение (2) при начальных и граничных условиях (3)—(5) решаем на универсально-сеточной модели (УСМ—1) с использованием цифровой машины «Наири—2» [3, 4, 9]. При постоянных значениях коэффициентов конвективной диффузии D и скорости растворения v конечно-разностные уравнения массопереноса (2) удобно представить в виде уравнения Кирхгофа:

$$\frac{C_{1} - C_{2}}{\Phi_{1}} = \frac{C_{3} - C_{2}}{\Phi_{2}} + \frac{C_{8} - C_{2}}{\Phi_{3}} = \frac{C_{2} - C_{2}^{t - \Delta t}}{\Phi_{t}} \cdot$$

$$\frac{C_{2} - C_{3}}{\Phi_{3}} = \frac{C_{4} - C_{3}}{\Phi_{2}} + \frac{C_{8} - C_{3}}{\Phi_{3}} = \frac{C_{4}^{t - \Delta t}}{\Phi_{t}} \cdot$$

$$\frac{C_{3} - C_{4}}{\Phi_{3}} + \frac{C_{3} - C_{4}}{\Phi_{2}} - \frac{C_{8} - C_{4}}{\Phi_{3}} = \frac{C_{4}^{t} - C_{4}^{t - \Delta t}}{\Phi_{t}} \cdot$$
(6)

гле

$$\Phi_1 = \frac{D_1 \Delta x \Delta y}{\Delta z} + \frac{v \Delta x \Delta y}{2}, \qquad \Phi_2 = \frac{D \Delta x \Delta y}{\Delta z} + \frac{v \Delta x \Delta y}{2}, \qquad 1$$

$$\Phi_a = \frac{1}{3\Delta x \Delta y \Delta z}; \qquad \Phi_i = \frac{1}{n\Delta x \Delta y \Delta z}. \tag{8}$$

Для составления электрической блок-схемы (рис. 9) необходимо, чтобы сопротивление от узла  $2 \times 3$  равнялось сопротивлению от узла  $3 \times 2$ . Эти условия должны быть удовлетворены для любого n узла сетки, т. е. от узла (n-1) к узлу (n) и от узла (n) к узлу (n-1).

Чтобы преодолеть указанные выше трудности, достаточно все члены конечно-разностных уравнений помножить на некоторую постоянную величину, значение которой для каждой строки системы уравнений (6) определяем формулой

$$K_{i} = \left(\frac{\Phi_{2}}{\Phi_{1}}\right)^{i-1}, \qquad (i = 1, 2, 3, ...),$$
 (9)

где I номер строки конечно-разностных уравнении (6). После осуществления этих преобразований получим расчетные формулы сопротивлений для любого узла сетки электрической блок-схемы с одновременно удовлетворяющимися условнями одинаковости гилравлических (Ф) или электрических (R) сопротивлений между у лами

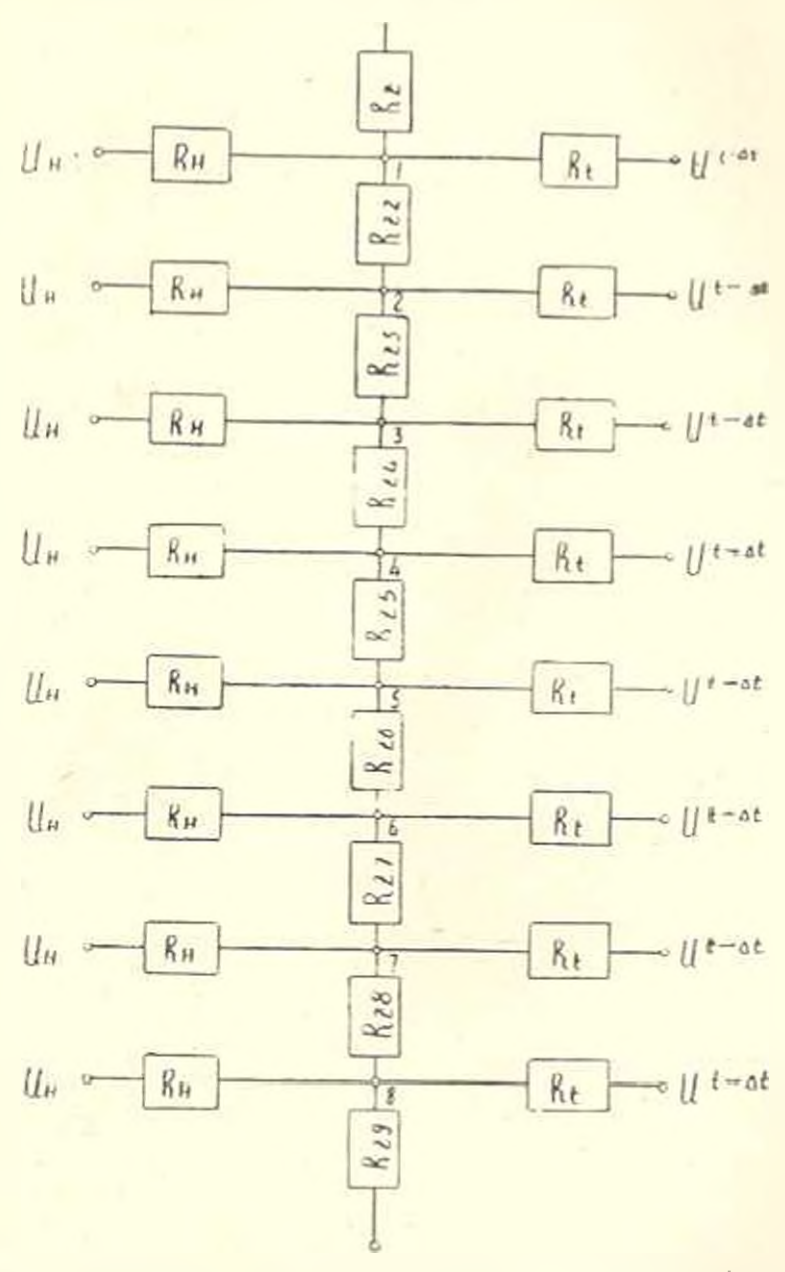


Рис. 9. Принципнальная электрическая блок-схема расчета сеточной молели.

$$\frac{C_{1} - C_{2}}{\Phi_{1}} - \frac{C_{3} - C_{2}}{\Phi_{0}} + \frac{C_{1} - C_{2}}{\Phi_{3}} - \frac{C_{2}^{t} - C_{2}^{t-\Delta t}}{\Phi_{1}}$$

$$\frac{C_{3} - C_{3}}{\Phi_{2}} + \frac{C_{4} - C_{3}}{A_{2}} - \frac{C_{1} - C_{3}}{B_{2}} = \frac{C_{3} - C_{3}^{t-\Delta t}}{\Phi_{2t}}$$

$$\frac{C_{3} - C_{4}}{A_{2}} + \frac{C_{3} - C_{4}}{A_{3}} + \frac{C_{1} - C_{4}}{B_{3}} - \frac{C_{4}^{t} - C_{4}^{t-\Delta t}}{\Phi_{3t}}$$
(10)

где

$$A_{l} = \frac{\Phi_{l}^{l}}{\Phi_{1}^{l-1}}; \qquad B_{l} = \Phi_{3} \left(\frac{\Phi_{2}}{\Phi_{1}}\right)^{l-1}; \qquad \Phi_{it} = \Phi_{t} \left(\frac{\Phi_{2}}{\Phi_{1}}\right)^{l-1};$$

$$R_{lA} = \alpha_{R} A_{l}; \qquad R_{lS} = \alpha_{R} B_{l}; \qquad R_{ll} = \alpha_{R} \Phi_{tt}.$$
(11)

Результаты расчетов приведены на рис. 1—6. Сплошной линией нанессны результаты натурных опытов, а пунктирной линией теоретических расчетов.

Из этих данных видно, что опытиме и теоретические расчеты, в целом, дают удовлетворительные результаты, если считаться с весьма сложным процессом явления массопереноса в почвенной среде и исизбежными ошибками, которые обычно имеют место в натурных опытах. Теоретический метод после такой проверки можно рекомендовать для расчета водно-солевых режимов на вновь мелиорируемых землях, не выполняя при этом большого числа экспериментов.

# Практические рекомендации

- 1. Для средне- и тяжслосуглинистых грунтов коэффициент солеотдачи (объем воды для смыва из твердой фазы одной тонны воднорастворимого комплекса (Na+K)) при мелиорации содово-засоленной почвы порошком железного купороса можно определить из данных графиков рис. 1.
- 2. Промывные нормы для метрового слоя сре ис- и тяжелосуглинистых грунтов в зависимости от принятого допустимого порога токсичности воднорастворимого комплекса (Na+K) можно определить по данным графиков рис. 2—3.
- 3. Практически с достаточной точностью процесс массопереноса (процесс рассоления содово-засоленных почи) можно определить методом физико-химической гилродинамики. При этом необходимо расчетные параметры, которые входят в эти зависимости, определить натурными опытами для каждого характерного участка в отдельности.
- 4. Продолжительность периода промывки для сильно засоленной толщи в зависимости от начального содержания в почве водиорастворимого комплекса (Na+K) длится от 60 до 130 дией, при скоростях висходящего фильтрационного потока 0.040—0.06 M/cyr.

#### Ս. Ա. ԱՆԱՆՅԱՆ, Ժ. Ա. ԱՉՈՏԱՆ, Ա. Կ. ԱՆԱՆՅԱՆ

# ՀՈՂԵՐՈՒՄ ՖԻԼՏՐԱՑԻՈՆ ՀՈՍՔՈՎ ՄԱՍՍԱՓՈԽԱՆԱԿՄԱՆ ՊՐՈՑԵՍՆԵՐԻ ՀԵՏԱԶՈՏՄԱՆ ՄԻ ՔԱՆԻ ԱՐԴՅՈՒՆՔՆԵՐԻ ՄԱՍԻՆ

# Ամփոփում

Հողվածում ընթված են դաշտային և տեսական հնտադոտությունների արդյունքները սողա պարունակող աղուտների լվացման պրոցեսների ժամասակ։

Բերված են փորձնական ձանապարհով ստացված մի քանի հաշվային հախումներ, որոնք անհրաժեշտ են աղուտների լվացման պրոցնաների և լվացման ջրանորմաների որոշման համար։ Տեսական հաշվարկները կատարված են ֆիզիկո-բիմիական հիդրոդինամիկայի մեքքողներով։ Լուծված է մասսատեղափոխման գիֆերենցիայ հավասարումը ֆիլտրացիոն միջավայրում աղակայած հողերի համար։

Փործնական և տեսական հետաղոտությունների արդյունքները համեմատված են և արված են մի շարը գործնական խորհուրդներ Արարատյան դաշտավայրի ազուաների օրտագործման համար։

#### ЛИТЕРАТУРА

- Ачови Ж. А. Песледование осущительного и рассоляющего дейстния закрытого горизонтального дренажа при химическом методе мелиорации соловых солончаков. Автореферат канд. диссертации, Ереван, 1978
- Аноли Ж. А. О векоторых вопросях гидродинамики массопереноса в фильгрируюшей среде. «Известия АН АрмССР (серия Г. И.)», т. XXXI, № 4, 1978.
- Знанян С. А., Ананян А. К. Гидродинамические метолы определения эксплуатационных заявсов подземных вод с учетом изменения их качеств и влиящиния поверхностных источников. «Известия АН АрмССР (серпя Т. И.)», т. XXX, № 5, 1977.
- Ананян С. А. О некоторых результатах решения пространственных задач массопереноса, «Изпестия АН АрмССР (серия Т. IL)», т. XXX, № 6, 1977.
- 5. Труды международного симпознума по содовым солончакам. Ереван, 1968.
- п Агабабяя В Г. Содовые засоления почи Араратской равшины и применение серной кислоты при их мелиорации. Автореферат докт. диссертации. Арм. с.-х. институт. Ереван, 1972.
- 7 Инструкция по освоению солово-солончаковых почи Араратской равнины. Ары. НПИВнА МСХ Арм. ССР, 1974.
- Временные промывные нормы и сроки полинов озимой интеннцы и людерны на рассоленных землях Араратской равнины (на арм. языке). МСХ и ММиВХ АрмССР. Ереван, 1976.
- 9. Інанян 1. К. Дренаж при освоенни содоных солончаков М., «Колос», 1972

#### ՀԱՅԿԱԿԱՆ ՍՍՀ ԳԻՏՈՒԹՅՈՒՆՆԵՐԻ ԱԿԱԳԵՄԻԱՅԻ ՏԵՂԵԿԱԳԵՐ ИЗВЕСТИЯ АКАЛЕМИИ НАУК АРМЯНСКОЙ ССР

Տեխնիկական գիտուր, սեշիա XXXI, № 5, 1978

Серия технических нач

ГИДРОТЕХНИКА

#### А. Б. БАГДАСАРЯН

# об определении напряженного состояния и зон трешин скальных основании бетонных ГРАВИТАЦИОННЫХ ПЛОТИН

Гравитационные плотины по сравнению с другими типами имеют простую конструкцию, позволяют применять наиболее дешевые способы укладки бетопа, дают возможность получить паиболее компактную комнановку основных сооружений гидроузла и т. д.

В данной работе приводится методика расчета напряженного состояния скального основания с учетом характера и зон разрушения. Эти расчеты могут служить основой для создания облегченных экономичных профилси по бетонным гравитационным плотинам.

# §1. Современное состояние вопроса

Расчеты и исследования напряженного состояния оснований бетонных плотии показывают, что избежать растягивающих напряжений в основании практически невозможно [1]. Подавляющее большинство плотин в этих условиях услешно эксплуатируется. Наличие в основании почти всех бетонных влотии растягивающих напряжений означает, что нет необходимости вводить ограничение на нелопущение этих напряжений по контакту бетон-скала, которые во многих случаях являются определяющими при назначении габаритов плотии.

Традиционным мегодом оценки надежности высоких бетонных плоитовичности энекстрона правития выправитительно устоичивости против сдвига.

Расчет устойчивости против опрокидывания для бетонных плотин не производится в силу требования е недопустимости на их подошве растягивающих напряжений с предельно осторожным назначением величины едвиговых характеристик к породе основания.

Экспериментальным исследованием установлено, что отсутствие в подошве плотины пормальных растягивающих напряжений еще не означает невозможности потери сю устойчивости в форме опрокидывания [1]. Как показывают полевые исследования штампов и испытания моделей [1, 2], верховая часть плотивы вместе с частью скального массива отделяется, а нарастающие напряжения под посиком плотины

производят дробление скального массива. Этим теряется несущая способность основания и плотина проворачивается.

Такой характер потери несущей способности основания объясняется развитием в основании плотии двух видов разрушения: разрушение путем образования трещин-отрыва у верхнего бъефа и трещин-скола на визовой части основания. Определяя области разрушения, поля напряжений и смещений основация, можно оценить его несущую способность и определять запасы устойчивости протии сдвига и опрокилывания.

При условии применения специальных конструктивных мероприятий, учитывающих растягивающие напряжения, надежность таких плотии может быть даже выше надежности тех плотии обычного классического профиля, напряженное состояние которых, в основном, не изучено.

# § 2. Математическое описание деформации и разрушения скальных пород и граничные условия

Твердые горные породы под действием интенсивных нагрузок обнаруживают хрупкость: разрушение с образованием многочисленных трешин. Кроме того, они обладают упруго-пластическими свойствами. Критическое состояние, предшествующее разрушению, описывается некоторым инвариантным соотношением, связывающим компоненты тензора напряжений и условия прочности. В общем случае это условие для изогропного материала запишется в виде [3]:

$$\Phi\left(N_1, N_2, N_3\right) \leqslant 0, \tag{1}$$

где  $N_1$ ,  $N_2$ ,  $N_3$  — главные напряжения.

При изменении граничных условий задачи разрушение, начавшись в некоторых точках рассматринаемого объема породы, будет передаваться другим элементам, причем, в каждом элементе перед его разрушением будет достигнуто равенство (1). Совокупность элементов рассматриваемого объема пород, в которых достигнуто равенство (1) и которые в следующем этапе окажутся разрушениыми, образуют границу между перазрушений частью породы и разрушениой. Равенство (1) представляет собой граничное условие, достигаемое на заранее исизвестной, опредсляемой в процессе решения, задачи при приближении к ней из неразрушенной области. По обе стороны от этой поверхности деформация среды описывается разными системами уравнений для неразрушенной в разрушенной областей.

Если главные напряжения могут стать растягивающими, то простейшим ограничением для изотропного материала будут условия

$$(i = 1, 2, 3)$$
 (2)

где з. — критическое значение растягивающих напряжений.

При достижении в каком-либо из этих соотношений равенства произойдет отрыв на главной площадке, после чего на ней главное напряжение обратится в нуль. Это условне вначале достигается у верхнего бъефа основания плотины. Если же главные напряжения сжимающие, то разрушение чроизойдет путем скола площадок, на которых действуют максимальные касательные напряжения.

В соответствии с этим условяе (1) сводится к соотношению:

$$|A| = X + (j, k = 1, 2, 3)$$
 (3)

где -, критическое значение касательных напряжений. Если напряжение будет соответствовать равенству условии (3), то образуются трещины касательного разрыва на соответствующих площадках. В материалах, разрушенных трещинами скола, имеет место пластическое течение, характеризующесся трением между обломками материала. В неразрушенной области материал описывается по закону Гука

$$z_{x} = \frac{E}{1 - z^{2}} z_{x} + \frac{Ez}{1 - z^{2}} z_{y};$$

$$z_{y} = \frac{E}{1 - z^{2}} z_{y} + \frac{Ez}{1 - z^{2}} z_{x};$$

$$z_{xy} = \frac{E}{2(1 + z)} z_{xy};$$

$$z_{x} = \frac{\partial u}{\partial x}; \quad z_{y} = \frac{\partial v}{\partial y}; \quad z_{xy} = \frac{\partial u}{\partial y} + \frac{\partial v}{\partial x};$$

$$(4)$$

где  $\sigma_r$ ,  $\sigma_v$ , — и  $\sigma_d$ , —  $\sigma_{ry}$  — напряжения и деформации и координатных илошадках; u, v — смещения, соответствению, по направлениям X и Y; E — молуль упругости;  $\sigma$  — коэффициент Пуассона.

Если во внутренних или граничных гочках достигнуто равенство условия (2), го материал разрушается путем отрыва в главных площадках.

Считается, что в областях разрушения допустимо описание процесса уравнениями сплошной среды. В области разрушения трещинами отрыва для облегчения математического описания состояния примем, что они образуются параллельно оси X. Главные площадки имеют небольшой уклон в сторону нижнего бьефа. Допушение, что они горизонтальные, мало искажает картину состояния и для инженерных расчетов можно считать приемлемым.

Напряжения и деформации в области разрушения путем отрыва при этих допущениях выражаются формулами

$$E_{xy} = 0, \quad \epsilon_{xy} = 0, \quad \epsilon_{xy} = 0, \quad \epsilon_{xy} = -a \frac{\partial u}{\partial x}. \quad (5)$$

В точках, где достигнуто равенство условия (3), разрушение происходит трещинами скола. Считается, что материал, находящийся в пластическом течении, описывается законом Гука для объемной деформации и условием пластичности

$$\sigma_x - \sigma_y = 2\tau_{1\pm 1} \tag{6}$$

где 🚛 — характеризует трение по поверхности трещии скола.

Связь между напряженнями и деформациями в области разрушения путем скола записывается в виде

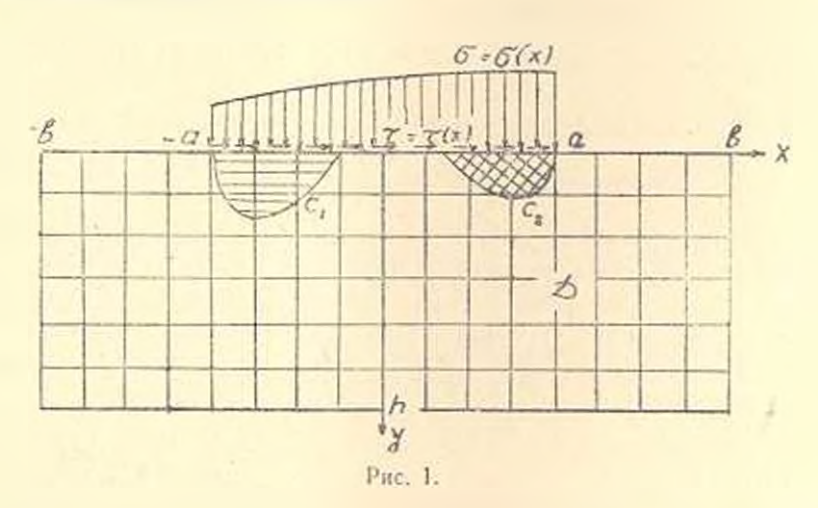
$$\frac{E}{2(1-t)}(\mathbf{r}_x + \mathbf{r}_y) = \mathbf{r}_{1w}.$$

$$\varepsilon_x = \varepsilon_y - 2\mathbf{r}_{1w}, \qquad \varepsilon_{xy} = \mathbf{r}_{1w}.$$

$$\varepsilon_x = \frac{\partial u}{\partial x}, \qquad \varepsilon_y = \frac{\partial v}{\partial y}, \qquad \varepsilon_{xy} = \frac{\partial u}{\partial y} + \frac{\partial v}{\partial x}.$$
(7)

## §3. Постановка и метод решения задачи

Задача определения напряженно-деформированного состояния скального основания с учетом трещинообразования для бетонных гранитационных плотии сводится к плоской задаче полупространства, заполненного линейно-деформированным хрупким материалом на отрезке поверхности | x | < a (рис. 1), на которой действуют нормальная и касательная распределенные нагрузки,



Согласно принципу минимума потенциальный энергин [4], решение задачи о равновесии линейно-деформируемого тела в случае илоской деформации сводится к минимизации функционала

$$\theta = \frac{1}{2} \int \int (\delta z \, dx + 2 \delta z \, dx + \delta z \, dx + \delta z \, dx) \, dx \, dy + \int \delta q \delta v \, dx, \tag{8}$$

где D — область упругого равновесия: C — граница, где задана интенсивность нагружения  $\omega_i$ ;  $\delta s_{x_i}$ ,  $\delta s_{y_i}$ ,  $\delta s_{y_i}$  и  $\delta s_{x_i}$ ,  $\delta s_{y_i}$  — приращения напряжений и деформаций.

Задачу можно решить в перемещениях, определив u(x, y), v(x, y).

Общий план решения задачи заключается в следующем,

1. Составляются граничные условия на поверхности полупространства y=0:

$$z_y = z(x);$$
 $\tau_{xy} = z(x),$ 
 $\text{npn} |x| \leqslant a;$ 

$$z_y = \tau_{xy} = 0,$$
 $\text{npn} |x| > a;$ 
(9)

а на поверхности y = h; u = v - 0,

- 2. Определяются внутреннее и граничное значения функции перемещений и их производных.
- 3. Минимизируется функционал (5) с выполнением граничных условий.
- 1. Вычисляется напряжение и определяется область разрушения по граничным условиям (2) и (3).

Для минимизации функционала ислесообразно пользоваться методом локальных вариации [5], так как рассматриваемую задачу можно решать только численно с использованием современных ЭВМ. Решение нужно строить с постепенным увеличением интенсивности нагрузки. Процесс решения задачи аналогичен с [6]. Нагрузка, действующая на отрезке  $|x| \approx a$ , разбивается на n частей. Для начала принимается нагрузка, равная  $z_1(x) = \frac{|x|}{n}$ ,  $z_1(x) = \frac{|x|}{n}$ . Начальное распределение напряжений в области D можно принимать нулевым или из известных решений.

Определяя напряженно-деформированное состояние, увеличиваем нагрузку для второго этапа, равную  $\mathfrak{s}_n(x) = \frac{2\mathfrak{s}_n(x)}{n}$ ,  $\mathfrak{t}_n(x) = \frac{2\mathfrak{s}_n(x)}{n}$  и при помощи локальной вариации определяем напряженно-деформированное состояние, одновременно проверяя условия (2) и (3).

В процессе последовательного решения задачи при стремлении нагрузки к истинной определяются границы области разрушения,

Имеют место следующие граничные условия.

- 1. На поперхности  $C_1$  (граница области разрушения путем отрыва):
- а) со стороны неразрушенного материала (рис. 1)

$$N_t = z_a$$
:

б) со стороны области разрушения

$$z_{y}=0; (10)$$

в) на границах разрушения (контактный разрыв)

$$u_1 = u_2, \qquad \frac{\partial u_1}{\partial x} = \frac{\partial u_2}{\partial x}$$

Здесь индексами 1 и 2 обозначены значения неличин, соответспенно, в неразрушенной и разрушенной средах.

- 2. На поверхности С. (граница области разрушения путем скола):
- а) со стороны разрушенного материала

$$|N_1 - N_2| = 2z_0;$$

б) на гравице разрушения путем скола

На каждом этапе решение задачи сводится к определению в перадрушенной области смещения и его производных, после чего на граничных условий (10) и (11) определяем смещение и деформации в разрушенных областях, а по формулам (5) и (7) вычисляем напряжения и одновременно определяем новые границы разрушенного материала.

Напряжения, вычисленные в разрушенной области, служат граинчными условиями для контуров  $C_1$  и  $C_2$  для следующего этапа вычисления. После и циклов, при достижении истинной пагрузки, определяем поля напряжений и смещений как в неразрушенной, так и в разрушенной областях.

Выбирая различные облегченные профили для гравитационных илотии и определяя соответствующие напряженно-деформированные состояния, а также области и характер разрушения, получим возможность создания новых экономичных профилей плотины в зависимости от действующих нагрузок и от физико-механических характеристик скального основания

ЕрПИ им. К. Маркса

Поступило 25.IV.1977

#### Ա. Ք. ԲԱՂԴԱՄԱՐՏԱՆ

# ՔԵՏՈՆԱՅԻՆ ԳՐԱՎԻՏԱՑԻՈՆ ՊԱՏՎԱՐՆԵՐԻ ԺԱՅՌԱՅԻՆ ՀԻՄՆԱՏԱԿԵՐՈՒՄ ԼԱՐՈՒՄՆԵՐԻ ԵՎ ՔԱՅՔԱՅՄԱՆ ՏԻՐՈՒՅԹՆԵՐԻ ՈՐՈՇՈՒՄԸ

Հաշվարկները և հատղոտությունները գույց են տալիս, որ ժայտային ապառների գրա կառուցված բնտոնային գրավիտայիսն պատվարների հիմնատակերում ձղող լարումներից խուսափեր անհնար է։

Փորձնական հետազոտությունները ցույց են տալիս, որ բետոն-ժայո կոնտակառով ձգող լարումների բացակայության դեպրում էլ պատվարների փայունության կորուստը կատարվում է շրջվելով։ Այդպիսի կայունության կորստի պատմասը հանդիսանում է հ<mark>իմնակա</mark>նում մաբնրի առա<mark>ջաց</mark>ումը, վերին կողմում՝ պոկման, իսկ ներջին կողմում՝ ընկորային մաջեր։

Հոդվածում բերված է ժայռային հիմնատակերում լարվածությունների, բայրայման տիրույթների տարածման, նրանց բնույթի որոշման խնդրի դրբ-վածբը, ինչպես նաև այդ ինդրի թվային հղանակով լուծման մեքիոդի նկարաղթությունը։ Այս խնդրի լուծումը հնարավորություն կտա նոր էկոնոմիկ պատվարների կոնստրուկցիաների ստեղծմանը, որոնը կարող են լինել ավելթ Հուսալի, բան դասական կոնստրուկցիաների պատվարները, որոնց հիմնատակերում լարվածային վիճակը չի ուսումնասիրված։

#### ЛИТЕРАТУРА

- Фишмия Ю. А. Напряженное состояние скальных оснований бетонных плотыв. «Гидротехническое строительство», 1975, № 3.
- Финман Ю. А. Последование кинематики разрушения блочного скального основания
  в процессе сдвига бетонных сооружений. Тр. Всесоюзи, коиф. «Методы определения напряженного соезояния и устойчивости высоконапорных гидротехнических
  сооружений», МИСП. 1972
- Григорян С. С. Некоторые попросы математической теории деформирования и разрушения твердых гориых пород. ПММ, 1967. № 4
- 4. Тимошенко С. П. Теория упругости, М., -Л. гостехиздат, 1934.
- Баничук А. В., Петров В. М., Черноусько Ф. Л. Алториты мегода Локальных вариаций для задач с частным производным. Институт проблем механики АН СССР. бр. № 4, 1971.
- Григорям С. С. К вопросу применимости теории упругости в строительной механике грунтов. Сб. тр. Межа. Коигр «Механика сплоиной среды и родственные проблемы анализа». М., над. МГУ 1972.

«խնիկական դիսութ, ռե**շիա** 

XXXI, Ag 5, 1978

Серия 1. ули песких паук

#### вычислительная техника

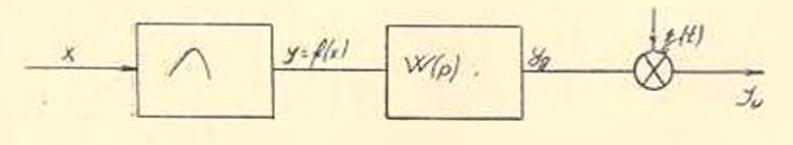
Р С РАФАЕЛЯЦ 1 Л КАПТАРДЖЯН, А М МИРЗОЯН С И ЧЕРЕМИСИНОВА

# АЧУДЭДОЧН КЭКАДИОЛАВНАЧТЭЛНОМАЯ СВООЛЛИ ОТИМИЗАЦИИ ИВЛИНЕНИИ В КОЛЕБАТЕЛЬНЫМ ЗВОИМ НА ВЫХОЛЕ

Выводится сходящийся самонастранвающийся быс гродействующий алгоритм управления внерционными объектами второго порядка, модель которого (рис. 1) представляется последовательным соединением статического звена с характеристикой y = f(x), про которую известно, что она унимодальна и может обладать разрывами непрерывности 11 рода, и динамического звена с передаточной функцией

$$W(p) = \frac{k_{f}}{T^{2}p^{2} + 2dTp + 1}$$
(1)

На рис. 1 приняты обозначения: х—управляемое входное воздейстние; у<sub>п.</sub> у<sub>и</sub> — соответствение, динамический и измеряемый выходы объекта.



Pirc. 1.

Актуальность решения поставленной задачи обусловлена следующими предпосылками.

- 1. Существующие алгоритмы поиска экстремума, базирующиеся на различных модификациях метода стохастической аппроксимации, для рассматриваемого типа объектов оказываются слишком «медлениыми», что связано с необходимостью установления переходных процессов при осуществлении пробных шагов, так как использование рабочей информации по неустановышимся выходным параметрам нарушает исобходимые условия сходимости поиска к экстремуму [1].
- 2. Быстродействующие алгоритмы, основанные на прогнозировании значений статической характеристики [2], не обладают сходимостью в вероятностном смысле.
- 11 те и другие алгоритмы не обладают свойством самонастройки к меняющейся неизвестным образом интенсивности аддитивной номехи.

При реализации процедур стохастической аппроксимации совер- f шаются f пробных шага f сопределяются соответствующие им значения  $f(x_k = \epsilon)$  статической характеристики (f значение f в f нем рабочем шаге), определяется средний условой коэффициент f нем рабочем шаге) и совершается следующий рабочий шаг

 $\Delta x_k = z_k - c_k = c_k - c_k$  последовательность положительных чисел (обычно гармонического типа).

Выводимый алгоритм в своей части, относящейся к совершению пробных и рабочих шагов, идентичен процедуре стохастической авпроксимации. В ней для определения  $f(x_k \pm c)$  исобходимо после совершения пробных шагов дожидаться установления переходных процессов, вызванных ими, что необходимо для удовлетворения условий, обеспечивающих сходимость поиска к экстремуму.

В выводимом алгоритме оценки  $f(x_k \pm c)$  прогнозируются по рабочей информации, извлекаемой нутем измерсиий, осуществляемых на начальных участках переходных процессов, что существенно увеличивает быстродействие поиска. Кроме того, алгоритм самонастранвается к интенсивности помехи  $\xi(t)$  в смысле определения необходимого объема выборки рабочей информации, обеспечивающей заданную точность оценки  $f(x_k + c)$ , а следовательно, и  $z_k$ . Ниже описана методика, с помощью которой достигнуты вышензложенные достоинства.

Пусть в момент t=0 состояние объекта характеризуется начальными условиями

$$x = x_0, \quad y' = y', \quad y = y_0 \neq f(x_0)$$
 (2)

и осуществляется миноаенное изменение входного воздействия до значения  $x_1$ , в результате чего на вход объекта поступает ступенчатое воздействие  $\Delta x = x_1 - x_0$ . Тогда на входе динамического звена формируется сигнал

$$\Delta f = f(x_1) - \frac{y_0}{h} . \tag{3}$$

Переходной процесс в объекте в системе координат  $y_1 = y - y_0$ , t определяется выражением

$$y_1(t) = \int f(x_1) - \frac{y_0}{k_y} \left[ k_y A + y_z B_z \right]$$
 (4)

где

$$A = 1 - e^{-\lambda t} \left( \cos \omega t + \frac{\lambda}{\omega} \sin \omega t \right);$$

$$B = e^{-\lambda t} \left( \cos \omega t - \frac{\lambda}{\omega} \sin \omega t \right);$$

$$L = \frac{d}{T}; \quad \omega = \frac{1}{T^2} (1 - d^2).$$
(5)

Для второго, третьего и произвольного k-го шага в системе координат  $y_k = y - \left[ y_0 + \sum_{i=0}^{k-1} \Delta y_i \right], \quad t_k = t - (k-1) \Delta t$  имеем:

а) начальные условия

$$t = t_1, x = x_1, y = y_1 \neq k_y f(x_1), y' = y_1,$$

$$t = t_1, x = x_2, y = y_2 \neq k_y f(x_1), y' = y_2,$$

$$t = t_{k-1}, x = x_{k-1}, y = y_{k-1} \neq k_y f(x_{k-1}), y' = y_{k-1}.$$
(6)

б) переходные процессы

$$y_{2}(t) = \left[ f(x_{2}) - \frac{y_{1}}{h_{2}} \middle| k_{y}A(t) + y_{1}B(t), \right]$$

$$y_{3}(t) = \left[ f(x_{3}) - \frac{y_{2}}{k_{y}} \middle| k_{y}A(t) + y_{2}B(t), \right]$$

$$y_{k}(t) = \left[ f(x_{3}) - \frac{y_{k-1}}{k_{y}} \middle| k_{y}A(t) + y_{k-1}B(t), \right]$$
(7)

За время  $\Delta t$  до очередного (второго) шага приращение  $\Delta y_1$  составит:

$$\Delta y_1 = \left| f(x_1) - \frac{y_0}{k_y} \right| k_y A(\Delta t) + y_0 B(\Delta t), \tag{8}$$

где

$$A(\Delta t) = 1 - e^{-i\Delta t} \left( \cos \omega \Delta t + \frac{1}{\omega} \sin \omega \Delta t \right).$$

$$B(\Delta t) = e^{-i\Delta t} \left( \cos \omega \Delta t - \frac{1}{\omega} \sin \omega \Delta t \right).$$
(9)

На втором, третьем и к-ом шагах для приращения динамического выхода объекта имеем, соответственно;

$$\Delta y_{1} = \left| f(x) - \frac{y_{1}}{k_{y}} \right| k_{y} A(\Delta t) + y_{1}^{\prime} B(\Delta t);$$

$$\Delta y_{3} = \left| f(x_{h}) - \frac{y_{1}}{k_{y}} \right| k_{y} A(\Delta t) + y_{2}^{\prime} B(\Delta t);$$

$$\Delta y_{k} = \left| f(x_{h}) - \frac{y_{1}}{k_{y}} \right| k_{y} A(\Delta t) + y_{k-1} B(\Delta t).$$
(10)

С целью исключения наконления ошибок с ростом числа шагов, определив каждое из приращений  $\Delta y_i$  через все предыдущие и выполнив оченилные преобразования, запишем выражение для переходного процесса в k-ом шаге в виде.

$$y_{k}(t) = y_{0}(1 - A)^{k} + B(1 - A)^{k-1} \sum_{k=0}^{\infty} y_{k}(1 - A)$$
$$+ k_{y}A(1 - A)^{k} \sum_{k=1}^{\infty} f(x_{k})(1 - A)^{-1}. \tag{11}$$

где А и В определяются выражениями (5).

Для прогнозирования установившегося значения динамического выхода объекта  $y_n = f(x)$ , то исобходимо для уменьшеная влияния инерционности объекта на качество процесса управления, итсобразуем выражение (11) к виду:

$$y_{k}(t) = k_{v} f(x_{k}) A + a_{k} (1 - A) + y_{k-1} B;$$

$$a_{k} = k_{v} f(x_{-1}) A + a_{k-1} (1 - A) - y_{k-2} B;$$

$$y_{k-1} = k_{v} f(x_{k-1}) A' - a_{k-1} (1 - A)' - y'_{k-2} B'.$$
(12)

Пенавестные параметры  $f(x_k)$ ,  $a_k$ ,  $v_{k-1}$  оцениваются методом наименьших квадратов (МНК) на основе измерений выходной координаты объекта  $y_k$  в присутствии помехи, представляющей собой стационарный случайный процесс с E = (t) = 0, неизвестной  $D \mid \varepsilon(t) \rbrace = 3^2 \le 100$  и малым временем корреляции  $\mid 5 \mid$ .

Для произвольного k-го воздействия  $\Delta x_k$  на основе измерений выходной координаты  $y_k$ , в моменты времени  $t_j = x_i$  (j = 0, 1, ..., N-1) составили уравнение неувязок, характеризующих разброс измеренных значений относительно теоретических:

$$|\mathbf{s}_{j} = \mathbf{y}_{k_{j}} - k_{y} f(\mathbf{x}_{k}) A_{j} - a_{k} (1 - A_{j}) - \mathbf{y}_{k-1} B_{j} \},$$

$$j = 0, 1, \dots, N - 1.$$
(13)

где

$$A_{j} = 1 - e^{-\lambda_{j}\tau} \left( \cos \omega_{j}\tau + \frac{\lambda}{\omega} \sin \omega_{j}\tau \right) \tau$$

$$B_{j} = e^{-\lambda_{j}\tau} \left( \cos \omega_{j}\tau - \frac{\lambda}{\omega} \sin \omega_{j}\tau \right). \tag{14}$$

Неизвестные параметры оцениваются из условия минимизации суммы

$$S = \sum_{i=0}^{N-1} s_j^2$$
(15)

в репультате решения системы линейных уравнений:

$$\frac{\partial S}{\partial [f(x_k)]} = 0; \qquad \frac{\partial S}{\partial [a_k]} = 0; \qquad \frac{\partial S}{\partial [y_{k-1}]} = 0. \tag{16}$$

Выполняя операцию дифференцирования и перенося вправо члены, не содержащие искомых оценок параметров, получим совместную систему нормальных уравнений:

$$(A_a^{\dagger} A_a) \hat{\rho}_b = A_a^{\dagger} y_a$$
, (17)

гле

$$p_{k} = \begin{bmatrix} f(x_{k}) \\ a_{k} \\ \vdots \\ y_{k-1} \end{bmatrix}; \quad y_{k} = \begin{bmatrix} y_{k_{k}} \\ y_{k_{k}} \\ \vdots \\ y_{k} \end{bmatrix}; \quad A_{k} = \begin{bmatrix} k_{1}A_{0} & 1 - A_{0} & B_{0} \\ k_{2}A_{1} & 1 - A_{1} & B_{1} \\ \vdots & \vdots & \vdots \\ k_{2}A_{J} & 1 - A_{J} & B_{J} \end{bmatrix}$$
(18)

—соответственно, матрицы оцениваемых параметров, измерений и структурная матрица.

Матрица  $A_k A_k$  является квадратичной, положительно определенной и невырожденной, т. к. количество измерений: N > l + 1, где l = 3 число оцениваемых параметров. Существует обратизя матрица  $(A_k A_k)^{-1}$  в связи с чем решение (17) имеет вид:

$$\rho_s = (A_1^* A_2)^{-1} A_1^* y_s \qquad (19)$$

и представляет собой вектор оценок неизвестных нараметров. Искомые оценки равны:

$$f(x_k) = \frac{1}{\Delta} \left\{ \left[ \sum_{j=0}^{N-1} (1 - A_j)^2 \sum_{j=0}^{N-1} B_j^2 - \left| \sum_{j=0}^{N-1} B_j (1 - A_i) \right|^2 \right] \sum_{j=0}^{N-1} k_j A_j y_{sj} + \left[ \sum_{j=0}^{N-1} R_j (1 - A_j) \sum_{j=0}^{N-1} k_j A_j B_j - \sum_{j=0}^{N-1} k_j A_j (1 - A_j) \sum_{j=0}^{N-1} B_j^2 \right] \sum_{j=0}^{N-1} (1 - A_j) y_{kj} + \left[ \sum_{j=0}^{N-1} k_j A_j (1 - A_j) \sum_{j=0}^{N-1} B_j (1 - A_j) - \sum_{j=0}^{N-1} (1 - A_j)^2 \sum_{j=0}^{N-1} k_j A_j B_j \right] \sum_{j=0}^{N-1} k_j A_j y_{kj} ;$$

$$a_k = \frac{1}{\Delta} \left\{ \left[ \sum_{j=0}^{N-1} k_j^2 A_j^2 \sum_{j=0}^{N-1} B_j^2 - \left| \sum_{j=0}^{N-1} k_j A_j B_j \right|^2 \right] \sum_{j=0}^{N-1} (1 - A_j) y_{kj} + \left[ \sum_{j=0}^{N-1} k_j A_j B_j \sum_{j=0}^{N-1} k_j A_j B_j - \sum_{j=0}^{N-1} k_j A_j (1 - A_j) \right] \sum_{j=0}^{N-1} k_j A_j y_{kj} + \left[ \sum_{j=0}^{N-1} k_j A_j (1 - A_j) \sum_{j=0}^{N-1} k_j A_j B_j \sum_{j=0}^{N-1} k_j A_j B_j \sum_{j=0}^{N-1} k_j A_j B_j \sum_{j=0}^{N-1} k_j A_j y_{kj} + \left[ \sum_{j=0}^{N-1} k_j A_j B_j \sum_{j=0}^{N-1} k_j A_j y_{kj} + \left[ \sum_{j=0}^{N-1} k_j A_j B_j \sum_{j=0}^{N-1} k_j A_j (1 - A_j) - \sum_{j=0}^{N-1} k_j A_j B_j \sum_{j=0}^{$$

$$-\sum_{j=0}^{N-1} k_y^2 A_j^2 \sum_{j=0}^{N-1} B_j (1-A_j) \left[ \sum_{j=0}^{N-1} (1-A_j) y_{kj} + \left[ \sum_{j=1}^{N-1} k_y^2 A_y^2 \sum_{j=0}^{N-1} (1-A_j)^2 - \left[ \sum_{j=0}^{N-1} k_y A_j (1-A_j) \right]^2 \right] \sum_{j=0}^{N-1} B_j y_{kj},$$

тде

$$\Delta = \begin{bmatrix} \sum_{j=0}^{N-1} k_y^2 A_j^2 & \sum_{j=0}^{N-1} k_y A_j (1 - A_j) & \sum_{j=0}^{N-1} k_y A_j B_j \\ \sum_{j=0}^{N-1} k_y A_j (1 - A_j) & \sum_{j=0}^{N-1} (1 - A_j)^2 & \sum_{j=0}^{N-1} B_j (1 - A_j) \\ \sum_{j=0}^{N-1} k_y A_j B_j & \sum_{j=0}^{N-1} B_j (1 - A_j) & \sum_{j=0}^{N-1} B_j^2 \end{bmatrix}. (21)$$

:Коварционная матрыца оценок неизвестных параметров равна [4]

$$cov |p_{a}| = s^{2} (A_{b}^{*} A_{b})^{-1}$$
. (22)

В качестве множителя в выражение (22) аходит пензвестная дисперсия ошибок 5°, несмещенная опенка которой определяется использованием остаточной суммы квадратов:

$$= \frac{\sum_{k_{i}} |y_{k_{i}} - |k_{i}f(x_{k})A_{i} - a_{k}(1 - A_{j}) + y_{\bullet-1}B_{i}||^{2}}{A_{\bullet}}.$$
 (23)

Использование (22) и (23) в процессе реализации процедуры оптимизации приводит к самонастройке поисковой процедуры к аддитивной помехе :(1) в смысле пиределения необходимого объема рабочей информации при совершении пробных шагов [3]. Выбор необходимого количества измерений осуществляется в каждом шаге поиска из условия удовлетворения соотношения:

$$D(f(x_i)) \le D_m$$
. (24)

Если условие (24) не удовлетворяется, то количество измерений увеличивается на единицу и вычисляются более точные оценки  $f(x_k)D[f(x_k)]$ . Циклическим повторением данной процедуры достигают удовлетворения (24), после чего совершается следующий шаг.

Поступила 1.111.1978.

#### Ռ. Ս. ՌԱՖԱԵԼՅԱՆ, Գ. Լ. ՂԱՆԹԱՐՋՅԱՆ, Ա. Մ. ՄԻՐՋՈՅԱՆ, Ս. Ն. ԶԵՐԵՄԻՍԻՆՈՎԱ

# ողջեր արևոր արևոր արևորն հարավար արևոր արևորները արևորները ուժերը արևորները ուժերը արևորները արևորները արևորները արևորները արևոր ար

#### Ամփոփում

Դուրս է բնրվում արադաշարժ ղեկավարման ալգորիին նրկրորդ կարգի թենրցիոն օրյնկտի համար, որի մողնլը ննրկայացվում է ստատիկ և դինամիկ օղակների հաջորդական կապով։

Ալգորիիմը ինքնահարմարվում է իսանդարումների ինտենսիվությանը, որոշելով ծառայող ինֆորմացիայի անհրաժեշտ ծավալը, որն ապահովում է ընութագրերի գնահատման տրված ճշտությունը։

#### ЛИТЕРАТУРА

- 1. Kesten H., Accelerated stochastics approximation. "The annals of mathimatical statistics", vol. 29, No. 1, 1958.
- Казакевич В. В., Рафаелян Р. С. Песледование системы экстремального регулирования шагового типа с предвычислением установившегося значения при наличин помех «Павестия АН АрмССР (серия Т. П.)», т. ХХ, № 4, 1967.
- Кантарджян Г. Л., Рафаелян Р. С., Мирзоян А. М. К вопросу сптимизации нелинейных инершионных объектов первого порядка. «Известия АН АрмССР (серия Т. Н.)» т. XXIX, № 5, 1976.
- 4. Худсон Д. Статнетика для физиков. М., «Мир», 1970.
- 5. Закс Ш. Теория статистических выводов. М., «Мир», 1975.

Տեխնիկական գիտութ, սեշիա

XXXI, A 5, 1978

Серия гехипческих наук

**ТЕПЛОТЕХНИКА** 

#### Л Р АМИЯН, В. К КАРАПЕТЯН, А. В КАРАУСТАЯН

#### МАТЕМАТИЧЕСКАЯ МОДЕЛЬ ЭЛЕКТРОВАРКИ СТЕКЛА

Создание совершенной системы регулирования теплового режима имеет большое значение для повышения технико-экономических показателей электроварки стекла. В настоящей работе сделана понытка построения математической модели электростекловарсиной печи прямого нагрева, пригодной для исследования и разработки систем автоматического управления тепловым режимом варки стекла в таких печах.

Для электростекловаренной печи, принимая, что теплотехнические параметры являются усредненными и сосредоточенными, уравнение теплового баланса установившегося режима—уравнение статики имеет вид:

$$Q = Q_1 + Q_2 + Q_3 + Q_4 + Q_5 + Q_6,$$

$$|Q_1 = Q_5,$$
(1)

где Q— колнчество тепла, выделяемого в стекломассе при прохождении электрического тока,  $\kappa \kappa a \Lambda u$ ;  $Q_2$ — потери на теплообмен между стекломассой и футеровкой и на охлаждение электродов,  $\kappa \kappa a \Lambda / u$ ;  $Q_3$ — тепло, уносимое расплавом в выработочную зону,  $\kappa \kappa a \Lambda / u$ ;  $Q_5$ — затраты тепла на нагрев инхты до номинальной температуры и на процесс стеклообразования,  $\kappa \kappa a \Lambda / u$ ;  $Q_4$ — потери тепла на испарение влаги шихты и на теплообмен между футеровкой и нисшней средой,  $\kappa \kappa a \Lambda / u$ .

Рассматривая перечисленные выше статьи расхода-прихода тепла, можно написать следующие линейные приближения, справедливые с практической степенью точности в области малых отклонений:

$$Q = k - \frac{\theta_0}{r}; \qquad Q_0 = \alpha_2 F_0 (\theta - \theta_0); \qquad Q_0 = \alpha_2 F_0 (\theta - \theta_0); \qquad Q_0 = C_0 Q_0 \theta_0; \qquad Q_0 = C_0 Q_0 Q_0; \qquad Q_0 Q_0 Q_0; \qquad Q_0 = C_0 Q_0 Q_0; \qquad Q_0 Q_0$$

где V— напряжение на электродах печи, s; R— сопротивление расплава печи, om; k— эквивалентный коэффициент,  $\kappa\kappa a n sm \cdot q$ ;  $\alpha_1 = \alpha_3 = \kappa$  коэффициенты теплоотдачи,  $\kappa\kappa a n/r pad \cdot q \cdot m^2$ ;  $\theta_1 = 0$ — усреднениые температуры расплава и футеровки,  $r pad \in F$ , r = 0— площади футеровки и электродов. r = 0— r = 0— гемпературы охлаждающей воды, окружающей среды и шихты,  $r pad \in C$ — удельные теплоемкости расплавенной стекломассы, шихты (усредненная) и смеси газов,  $\kappa\kappa a n/\kappa a r pad \in C$ 

q — количество загруженной шихты в час,  $\kappa r$ ,  $\epsilon$ ;  $\gamma$  — расходный коэффициент, показывающий, какая часть шихты, загружаемой в печь, выходит из нее в виде расилава;  $\bar{\kappa}$  — количество тепла, затрачиваемого на физико-химические превращения в шихте,  $\kappa \kappa \alpha A/\kappa r$ ; q, — количество выделившихся газов,  $\kappa r/r$ ;  $\theta_r$  — температура отходящих газов, r

Потери Q, в Q, составляют незначительную долю в общем тепловом балансе и ями можно пренебречь.

Переходя от уравнений статики (1) к уравнениям дипамики, можно записать:

$$\Delta Q = \Delta Q_1 + \Delta Q_2 + \Delta Q_3 + \Delta Q_5 + C \frac{d\theta}{dt};$$

$$\Delta Q_1 = \Delta Q_1 + C_0 \frac{d\theta_0}{dt}.$$
(2)

тде C,  $C_{\Phi}$  теплоемкости расплава и футеровки, ккал град. Проведя линеаризацию при помощи формул Тейлора, найдем, что

$$\begin{split} \Delta C &= \frac{2kV}{R_0} \Delta V - \frac{kV_0^2}{R_0^2} \Delta R = \frac{2kV_0^2}{R_0} y - \frac{V_0}{R_0} x_1 \\ \Delta C_1 &= z_1 F \Delta I - z_1 F \Delta I_0 = z_1 F I_0 x - z_2 F I_{0_0} x_{0_0} \\ \Delta C_3 &= c_1 q_0 \Delta I + c_{00} \Delta q = c_1 q_0 I_0 x + c_1 q_0 V_0 \\ \Delta C_4 &= c_{00} q_0 \Delta I + c_{00} (I_0 - I_0) \Delta q = c_{00} q_0 I_0 x + c_{00} q_0 (I_0 - I_0) z; \\ \Delta C_5 &= k_1 \Delta q = k_1 q_0 z; \\ \Delta C_7 &= z_1 F \Delta I_0 = z_3 F I_{0_0} x_0 x_0, \end{split}$$

где  $x=\frac{\Delta \theta}{\theta_0}$ ;  $x_{\Phi}=\frac{\Delta \theta_{\Phi}}{\theta_{\Phi_0}}$ ;  $x_1=\frac{\Delta R}{R_0}$ ;  $y=\frac{\Delta V}{V_0}$ ;  $z=\frac{\Delta q}{q_0}$  относительные изменения переменных. Здесь индексов "о" отмечены значения параметров, соответствующих номинальному режиму.

Известно, что зависимость электропроводности расплавленной стекломассы  $\rho(\theta)$  от температуры выражается трансцендентным уравнением  $\rho = \frac{1}{A}e^{\frac{B}{A}}$ , где A и B — коэффициенты, зависящие от состава стекла [1],

Применение этого уравнения для исследования динамики теплоных процессов представляет известные трудности. Поэтому в работе была использована упрощенная зависимость  $\rho(9)$ . Принимая, что  $\rho' = \frac{ds}{ds}$  в области малых отклонений от номинальной температуры остается постоянной, можно записать:

$$x_1 = \frac{\Delta R}{R_0} = \frac{\Delta o}{\rho_0} = -\gamma \theta_0 x. \tag{3}$$

где  $\eta = \frac{|F_0|}{p_0}$  — показатель саморазрегулирующей способности расплавленной стекломассы, предложенный Андрусечко [3]. Тогда:

$$\Delta Q = \frac{2kV_0^2}{R_0} y + \frac{R_0}{R_0} x.$$

Подставив полученные значения АО, в систему (2), получим:

$$\frac{2kV_0}{R_0}y + \frac{k\eta\theta_0V_0}{R_0}x = a_1F\theta_0x - F + c_1q_0\theta_0x + c_1q_0\theta_0z - + c_{10}q_0\theta_0x + c_{10}q_0\theta_0x + c_{10}q_0\theta_0x + c_{10}q_0\theta_0z + c_{10}q_0\theta_0x + c_{10}q_0x + c_{10}$$

Введя оператор дифференцирования и проведя соответствующие преобразования, получим уравнение

$$(T_2^2 p^2 + T_1 p + 1) x = k (T_3 p + 1) - k \cdot (T_3 p + 1) z,$$
 (5)

гле  $T_1$ .  $T_2$ .  $T_3$  — постоянные времени варочной зоны, а k, k — соответствующие коэффициенты усиления.

Коэффициенты усиления и постоянные времени могут быть вычислены по формулам:

$$T = \frac{C_{0} (a_{1} / R_{0} + c_{11} q_{0} R_{0} - 2k r_{i} V_{0}^{2}) + (a_{1} + a_{3}) C}{F (a_{1} a_{3} F R_{0} + (a_{1} + a_{3}) (c_{1} q_{0} R_{0} + V_{0}))}$$

$$T^{2} = \frac{CC_{0} R_{0}}{F (a_{1} + a_{3})}$$

$$T_{3} = \frac{C_{0}}{F (a_{1} + a_{3})}$$

$$k = \frac{2k V_{0}^{2} (a_{1} + a_{3})}{\theta |_{x_{1}} + (a_{1} + a_{3}) (c_{1} q_{0} R_{0} + c_{11} q_{0} R_{0} - 2k r_{i} V_{0}^{2})}$$

$$k = \frac{[c_{1} q_{0} \theta_{0} + c_{11} q_{0} - \theta_{11}) + [(a_{1} + a_{3}) - a_{0} q_{0} R_{0} - 2k r_{0} V_{0}^{2}]}{[a_{1} a_{3} F R_{0} + (a_{1} + a_{3}) (c_{1} q_{0} R_{0} + c_{11} q_{0} R_{0} - V_{0})]}$$

Исходя из уравнения (5), можно записать передаточные функции электростекловаренной печи по управляющему и возмущающим воздействиям

$$W(p) = \frac{x(p)}{y(p)} - \frac{T_1^2 p^4 + T_1 p + 1}{T_2^2 p^4 + T_1 p + 1}$$

$$W_2(p) = \frac{x(p)}{z(p)} = \frac{k_2 (T_1 p + 1)}{T_2^2 p^2 + T_1 p + 1}$$

Управление тепловым режимом электростекловаренной печи непосредственно по температуре встречает ряд существенных трудностей. Более надежным и целесообразным, как показывает многолетний опыт эксплуатании электростекловаренных нечей, является регулирование теплового режима по косвенным электрическим параметрам—межэлектродному сопротивлению, току нагрузки или мощности, выделяемой в расилавлениой стекломаесе.

Передаточная функция варочной зоны электрестекловаренной печи при использовании в качестве регулируемого параметра межэлектроддого сопротивления, с учетом уравнения (3), будет иметь вид

$$W_1(p) = \frac{x_1(p)}{y(p)} = \frac{k_1(T_1p+1)}{T_2^2p^2 + T_1p+1}$$

тде  $k_1 = k \eta \theta_0$ .

Обозначив через  $x_n = \frac{\Delta J}{J_0}$  — относительное отклонение тока нагрузки и проведя линеаризацию, можно записать:  $x_n(p) = y(p) - x_1(p)$ .

Тогда передаточная функция электростекловаренной нечи, при использовании в качестве регулируемого параметра— тока нагрузки, примет вид:

$$W'(p) = \frac{Y(p)}{Y(p)} = \frac{T_{12}p - T_{12}p - T_{1}}{T_{1}^{2}p^{2} - T_{1}p - T_{1}}.$$

где 
$$k_2 = 1 - k_1;$$
  $T_{22}^2 = \frac{T_1 - T_2}{1 - k_1};$   $T_{12} = \frac{T_1 - T_2}{1 - k_1}.$ 

Обозначив  $x_* = \frac{\Delta W}{W}$  — относительное изменение мощности, ана-

логично предыдущему, можно записать:  $x_3(p) = y(p) + x_2(p)$ , а нередаточную функцию электроварки стекла при использовании в качестве регулируемого парамстра электрической мощности, выделяемой и расплавленной стекломассе при прохождении через него электрического тока

$$W_3(\rho) = \frac{k_3(T_3 \rho^2 + T_3 \rho + 1)}{T_2^2 \rho^2 + T_1 \rho + 1}$$

тде 
$$k_{\rm J}=2-k_{\rm I}$$
  $T_{23}^2=\frac{2T_2}{2-k_{\rm I}}$ ;  $T_{13}=\frac{2T_1-k_1\Gamma_3}{2-k_{\rm I}}$ .

Экспериментальные исследования, проведенные на промышленных и опытио-промышленных электростекловаренных печах, показали адекватность полученной математической модели. Передаточные функции, приведенные в работе, были пепользованы при разработках сАР тепловым режимом промышленных электростекловаренных печей.

#### t. o. uursun, a. h. huruabssun, 2. a. huruapususun

#### ԱՊԱԿՈՒ ԷԼԵԿՏՐԱԵՓՄԱՆ ՄԱԹԵՄԱՏԻԿԱԿԱՆ ՄՈԳԵԼԸ

# Ամփոփում

Աշխատանքում բերված է անմիջական տարացման էլնկարական վառարանում ապակու եփման պրոցնաի մանեմատիկական մոդելը։ Եփման ջերմային ռեժիմի ինչպես անմիջական ջերմաստիճանով, այնպես էլ անուղղակի էլնկարական պարամետրերով կառավարման համար ստացված են փոխանցման ֆունկցիաները ըստ կարգավորող ու խոտորող ներգործումների։ Ստացված մանեմատիկական մոդելները կարելի է օգտադործել արդյունաբերական էլեկտրանփման վառարանների ջերմային ռեժիմների ավտոմատ կառավարման Համակարդերի նախուցծման դեպքում։

#### ЛИТЕРАТУРА

- Костинян К. А. Электропроводность распланленных стекол и некоторые нопросыэлектропарки стекла. «Арм. химический журнал», 1967, № 10.
- Лаптео В. И. Системы автоматического регулирования температурного режима установом с метроподогревом етекломассы «Стекло», 1975. № 2.
- Indrustrezko A., Czklo i ceramika, 16, 209, 1965.

# PRELLARESPE

U BP LLUCTON P 3 A N.	
Մ. Ա. Ռուսումյան։ Տերստիյ տարրավորումենրի հիմնական պարամետրերի հետազո- առւմը վիճակագրական մոցելավորման մեքնոցով	
Ն. Վ. Ոլելնիկ, Մ. Գ. Սատելյան, Ս. Հ. Գատպաշյան <i>Մերե</i> նաների մասերի դիմացկունա։ - <i>Արտեր լկա</i> յալնացված լճանվածության հ	
examples -	
14. 15. Շատարիանկան Քարդ էլեկարաքներդետիկական Համակարգի կայունացված ան- միմի Հաշվման ալդորիկմը	1
и. Ф. Шишпушб: 244mdmpdaq фационафібар	2
:WLR45her	
Վ. Հ. Քոքմասյան, Հ. ի. Կաշապետյան <i>Հորտևային յրթափի</i>	2
II. Ա. Ահանյան, Ժ. Ա. Այսյան, Ա. Կ. Անանյան։ Հոգհրում ֆիլորացիոն հոսյով մաստա- փոխահակման պրոցհոների հետազոտման մի չանի արդյունչների մասին	4
LPTFNS6M&P4II	
Ա. Բ. Բաղղասաշյան։ Բետոհային գրավիտացիոն պատվարևերի ժայուռյին հիմեստա- կերում լարումենրի և բայրայման աիրույթենիր որոշումը	5
ՀԱՇՎՈՂԱԿԱՆ ՏեԽՆԻԿԱ	
Ռ. Ս. Ռաֆայելյան, Գ. Լ. Ղանրաբչյան, Ա. Մ. Միրզոյան, Ա. Ն. Չեշեմիդինովա։ Օպտի- միզացիայի ինդհամարժողվող պրոցերութա նյում տատանվող օղակ ունեցող ոչ-գմային օրյնկաների Համար	5
26 F V US S II V II	
ՈՒ Է. Աժիյան, Վ Կ. Կաշապետյան, Հ. Վ Կաշանառայան։ Ապակու էլնկտրանփման	

# т содержание

	Стр
машиностроение	
М К Растомии Исследование основных нараметров техетильного оборудования методом статистического моделирования	3
энергетика	
<ul> <li>И Шарабханян. Алгоритм расчета установившегося режими сложной элек- розпертечеческой системы</li></ul>	15 26
гидравлика	
В. О. Токийджян. Г. Н. Карапетян. К гидравлическому расчету шахтного водо- сливо	33 40
гидротехника	
.1 b Багдасарян. Об определении напряженного состояния и эон трешин скальных оснований бетонных гранитационных плотии ,	52
вычислительная техника	
Р. С. Рафаелян, Г. Л. Кинтарджян, 1. М. Мирзоян, С. Н. Черемисинова, Шатовая сямонастранвающимся процедура оптимизации нелипейных объектов с колебательным звеном на выхоле	59
теплотехника	
A F Амиян, В. К. Киранетич, А В Кираустаян. Математическая мюдель элек- уроварки стекла	66